

# OS PILARES DA COSMOLOGIA

- Expansão do Universo
- Nucleossíntese Primordial
- Radiação de Fundo Cósmica

40000

$H_0 = 100 h \text{ km}/(s \text{ Mpc})$

$h = 0.72 \pm .03 \pm .07$  Freedman et al. (Hubble Key Project)

$h = 0.57 \pm .02$  Sandage, Tammann, et al.

Velocity (km/sec)

20000

10000

0

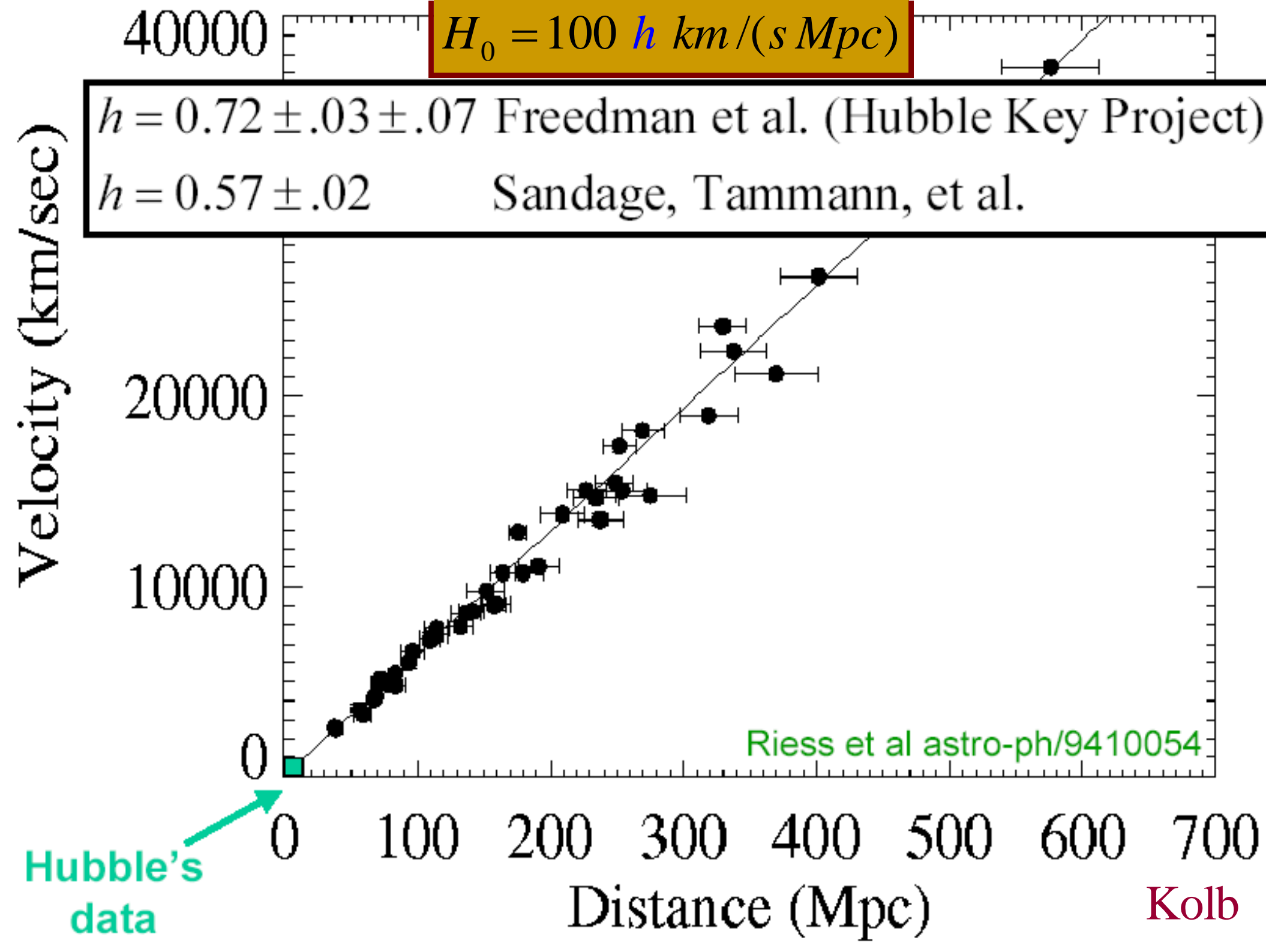
Riess et al astro-ph/9410054

0 100 200 300 400 500 600 700

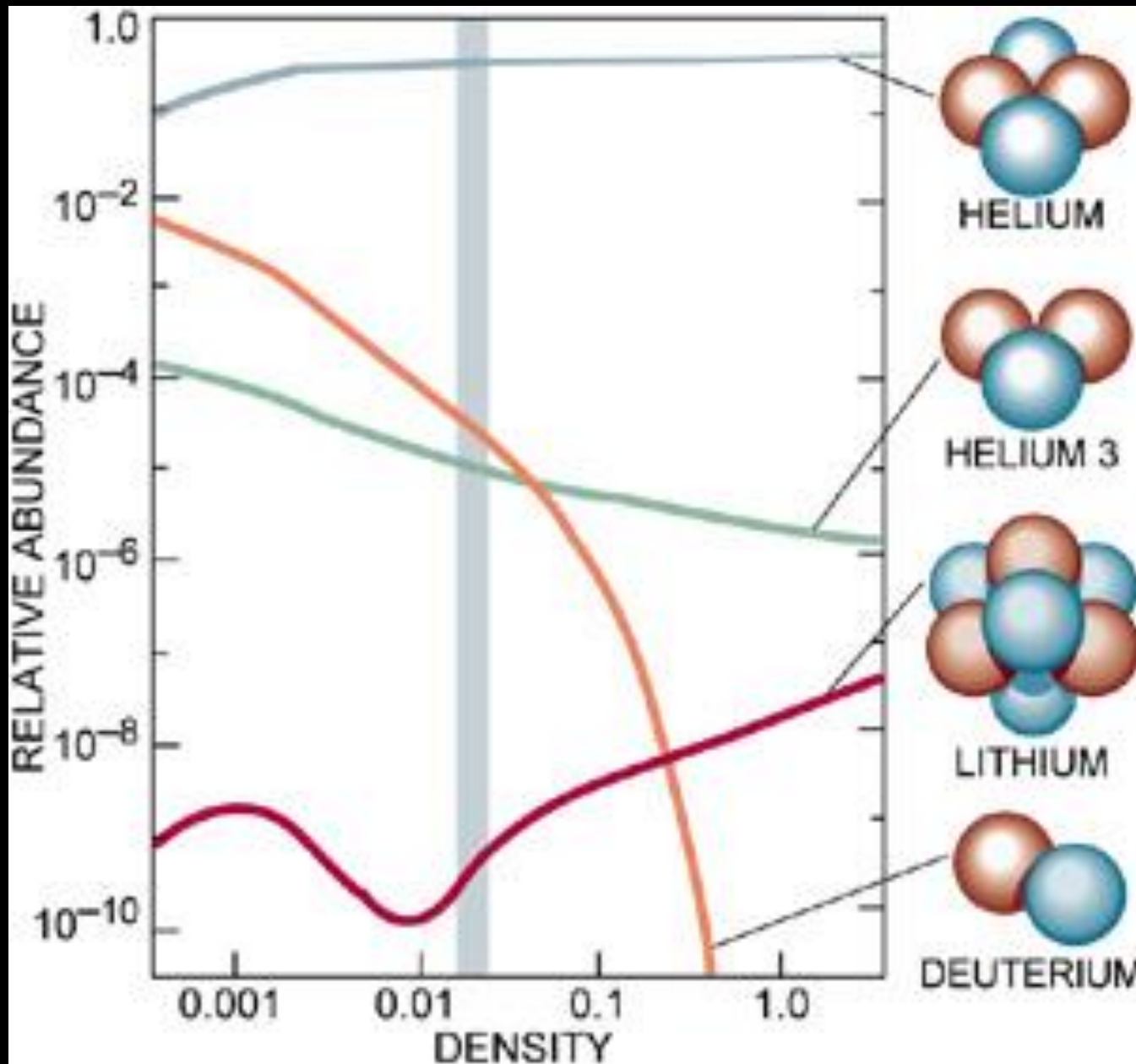
Distance (Mpc)

Hubble's  
data

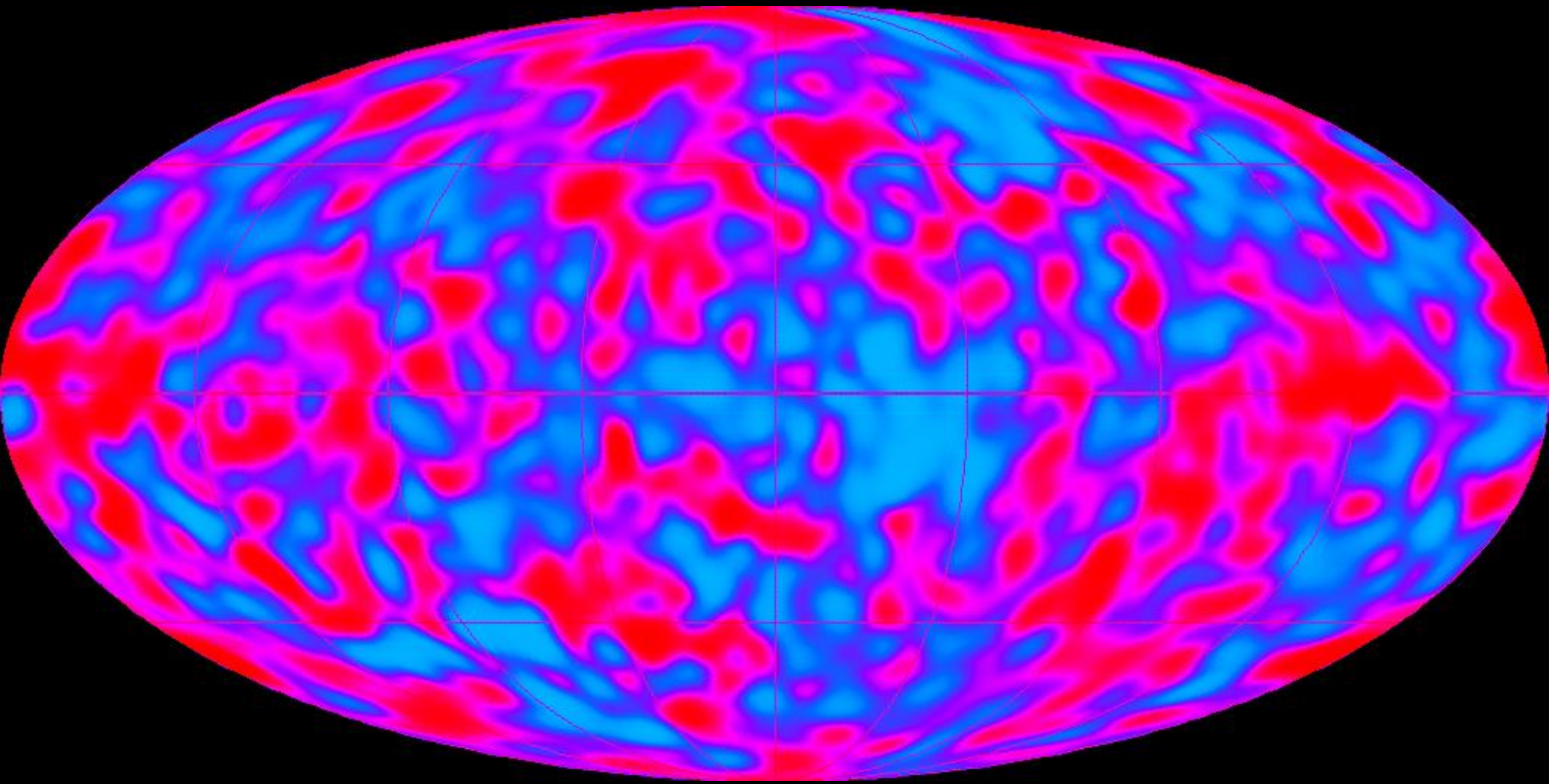
Kolb



# NUCLEOSSÍNTESE PRIMORDIAL



# RADIAÇÃO DE FUNDO CÓSMICA



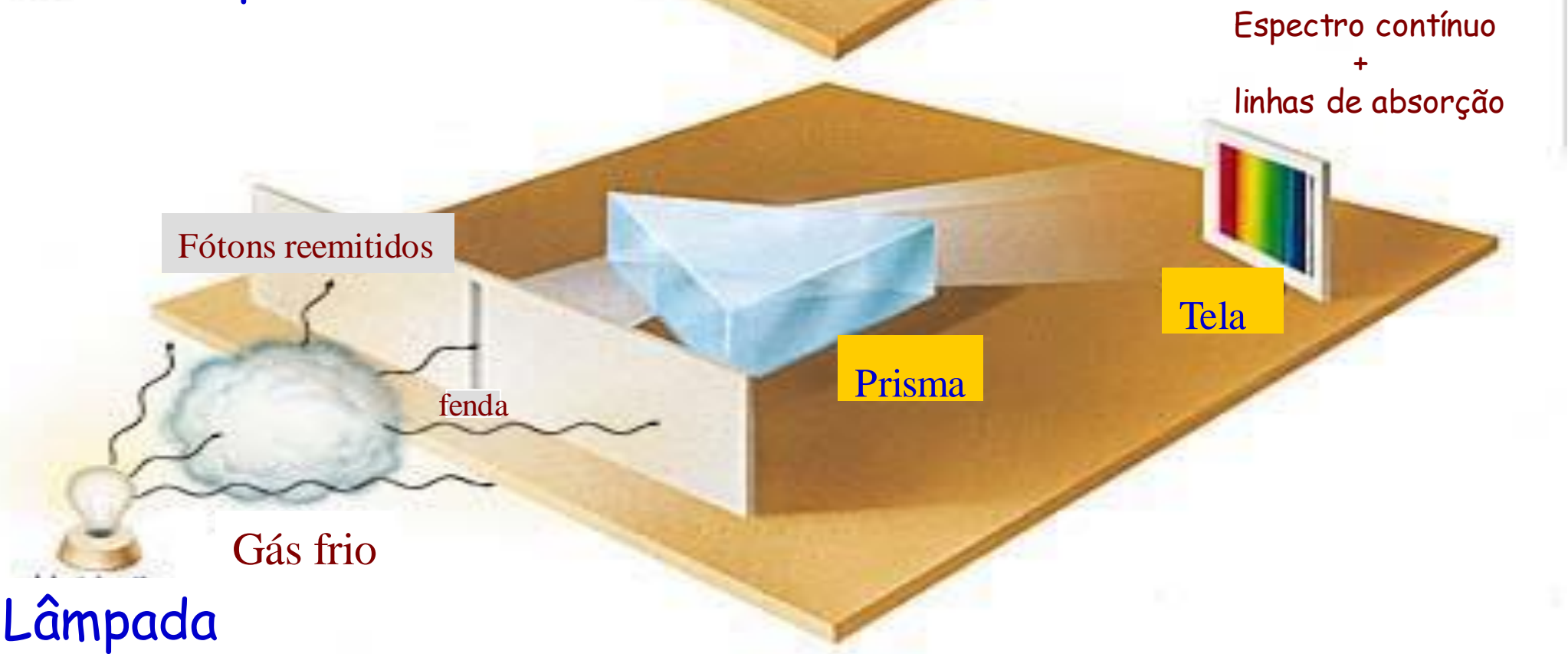
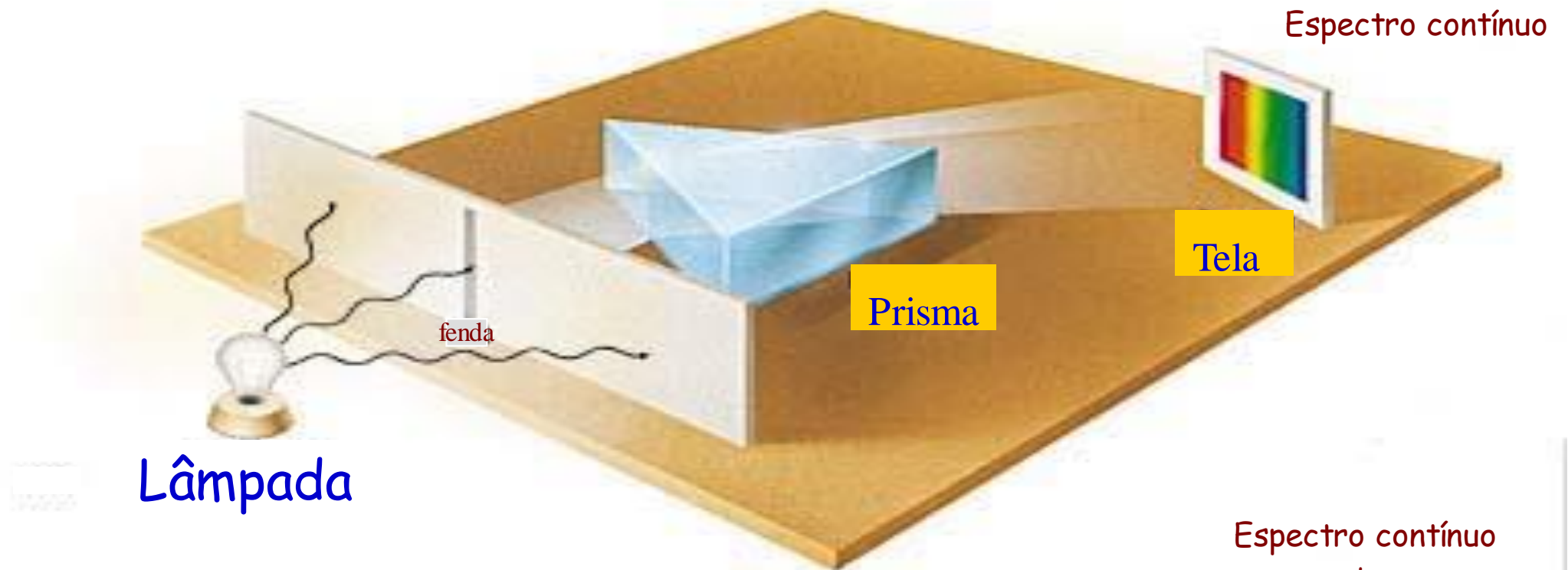
# A expansão do Universo e a lei de Hubble.

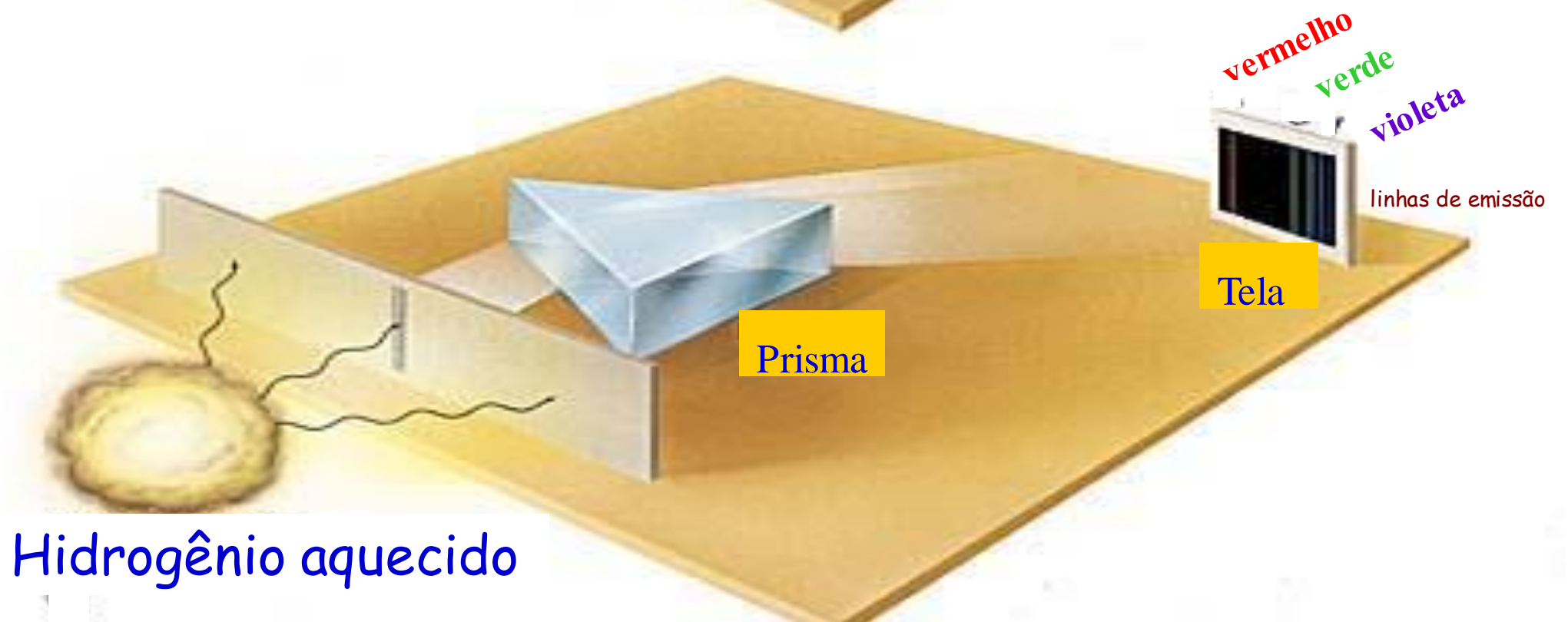
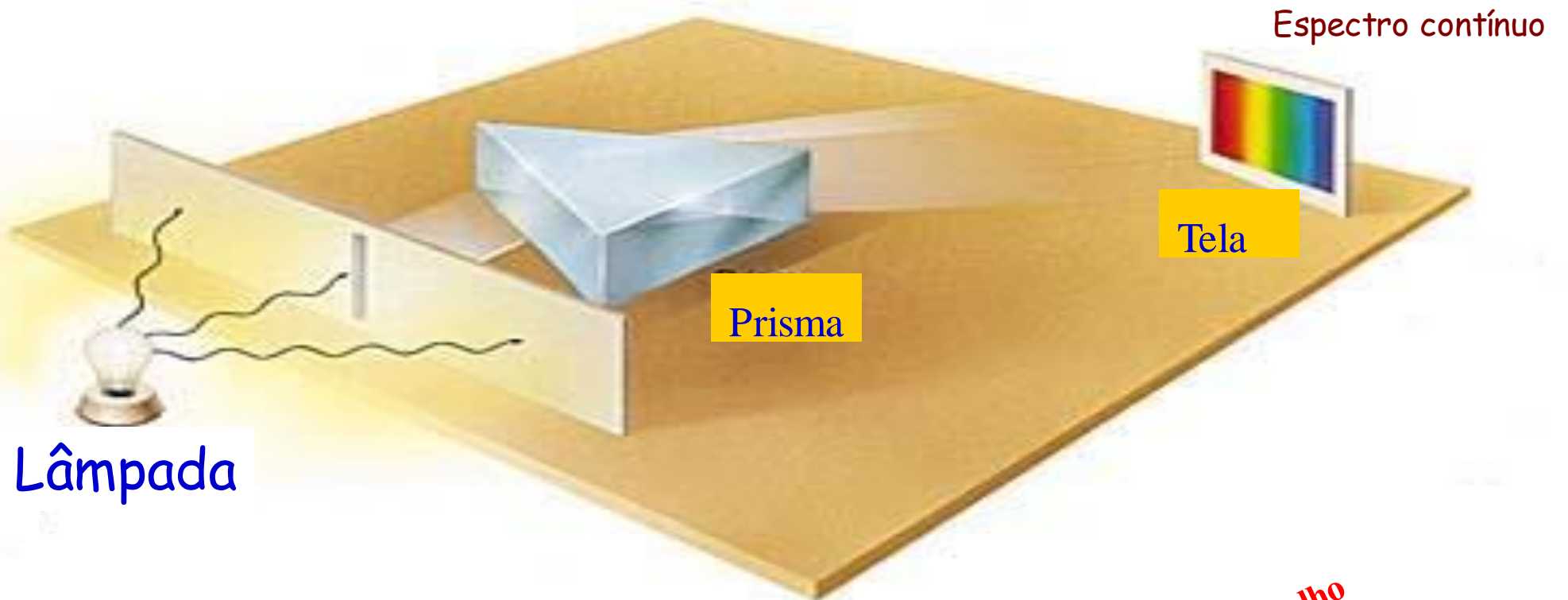


Percival Lowell

- **1901, Vesto M. Slipher é contratado para trabalhar no Observatório Lowell.**
- **durante mais de 10 anos ele analisou o espectro da luz vinda de estrelas e nebulosas.**

# O espectro da luz







**Hidrogênio**



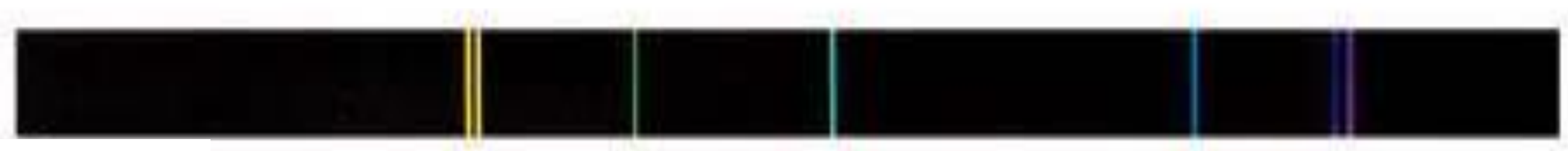
**Sódio**



**Hélio**



**Neonio**



**Mercúrio**

Espectro de emissão de alguns elementos conhecidos

# A expansão do Universo e a lei de Hubble.



V. M. Slipher

- Em 1912 Slipher percebeu que as linhas espectrais de Andrômeda estavam no lugar errado, elas estavam deslocadas para o azul (região de menor comprimento de onda).

**Como interpretar o resultado de Slipher?**

# Efeito Doppler



**Christian Doppler**

- **1842 - Efeito Doppler** 

$$z = \frac{\text{desvio para o vermelho}}{\text{velocidade da fonte}} = \frac{\text{velocidade da fonte}}{\text{velocidade da luz}} = \frac{\lambda_{obs} - \lambda_{ref\ fonte}}{\lambda_{ref\ fonte}}$$

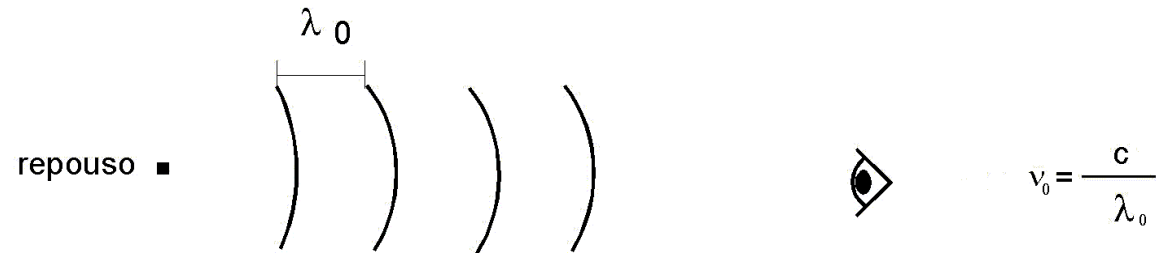
$C = 300\ 000\ \text{km/seg}$       Válido para  $v$  muito menor que  $c$

**Portanto a interpretação do resultado de Slipher é que Andrômeda está se aproximando de nós.**

# Efeito Doppler

Fonte emissora desloca-se em relação ao observador.

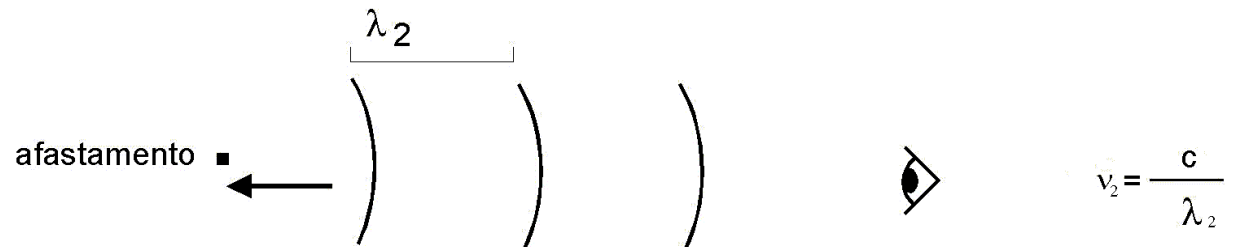
Fonte em repouso,  
emitindo luz a um  
comprimento de onda  $\lambda_0$ .



Fonte aproxima-se do  
observador:  $\Rightarrow$  comprimento  
de onda observado será  
menor ( $\lambda_1 < \lambda_0$ ).



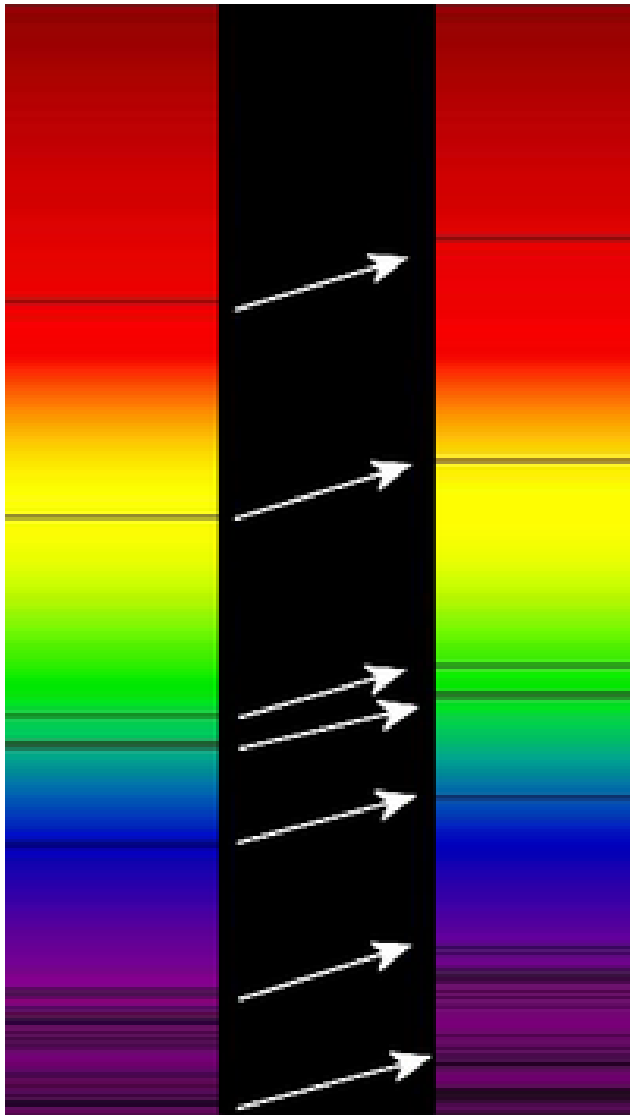
Fonte afasta-se:  
comprimento de onda  
observado será maior  
( $\lambda_2 > \lambda_0$ ).



# Desvio para o vermelho (redshift)

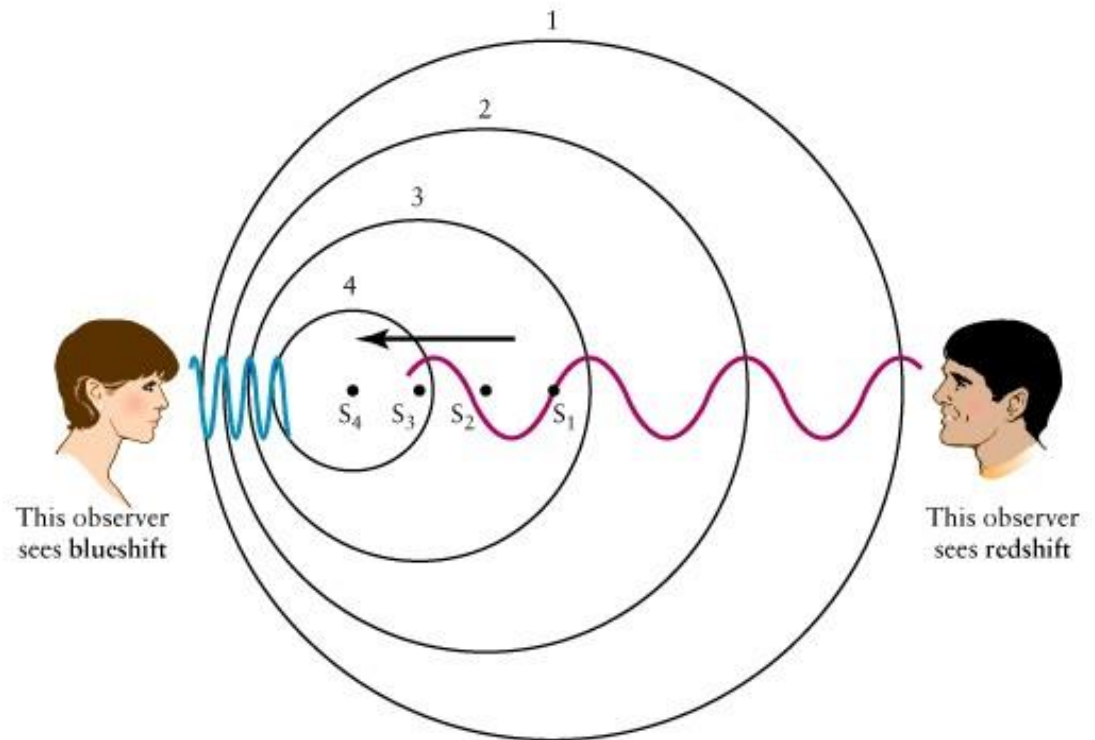
Para velocidades não-relativísticas (fonte com  $v \ll c$ )

repouso                      afastamento

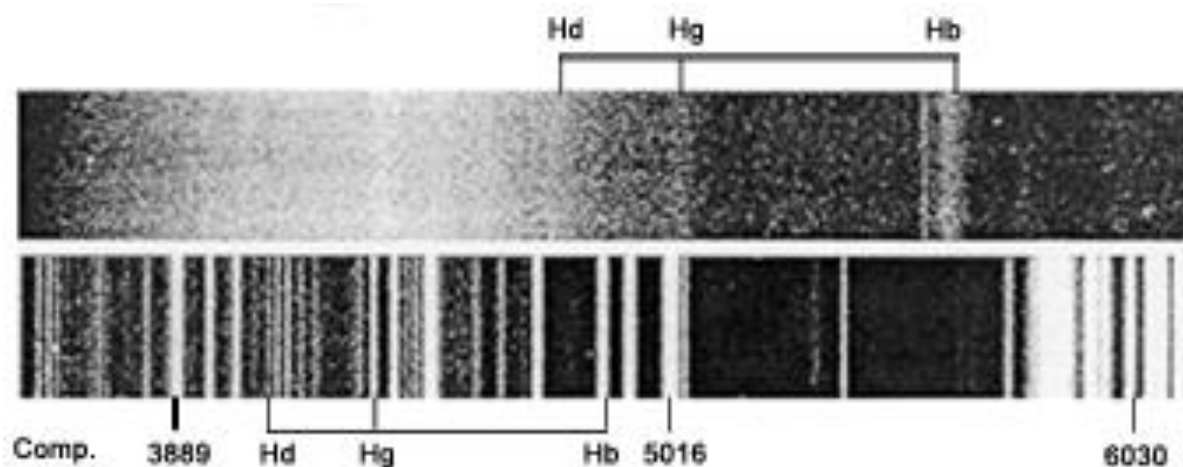


$$\Delta\lambda = \lambda - \lambda_0 = \lambda_0 \left( \frac{v}{c} \right)$$

$$\frac{\Delta\lambda}{\lambda_0} = \frac{v}{c}$$



# Exemplo: o fabulosamente rápido (e distante) quasar 3C273



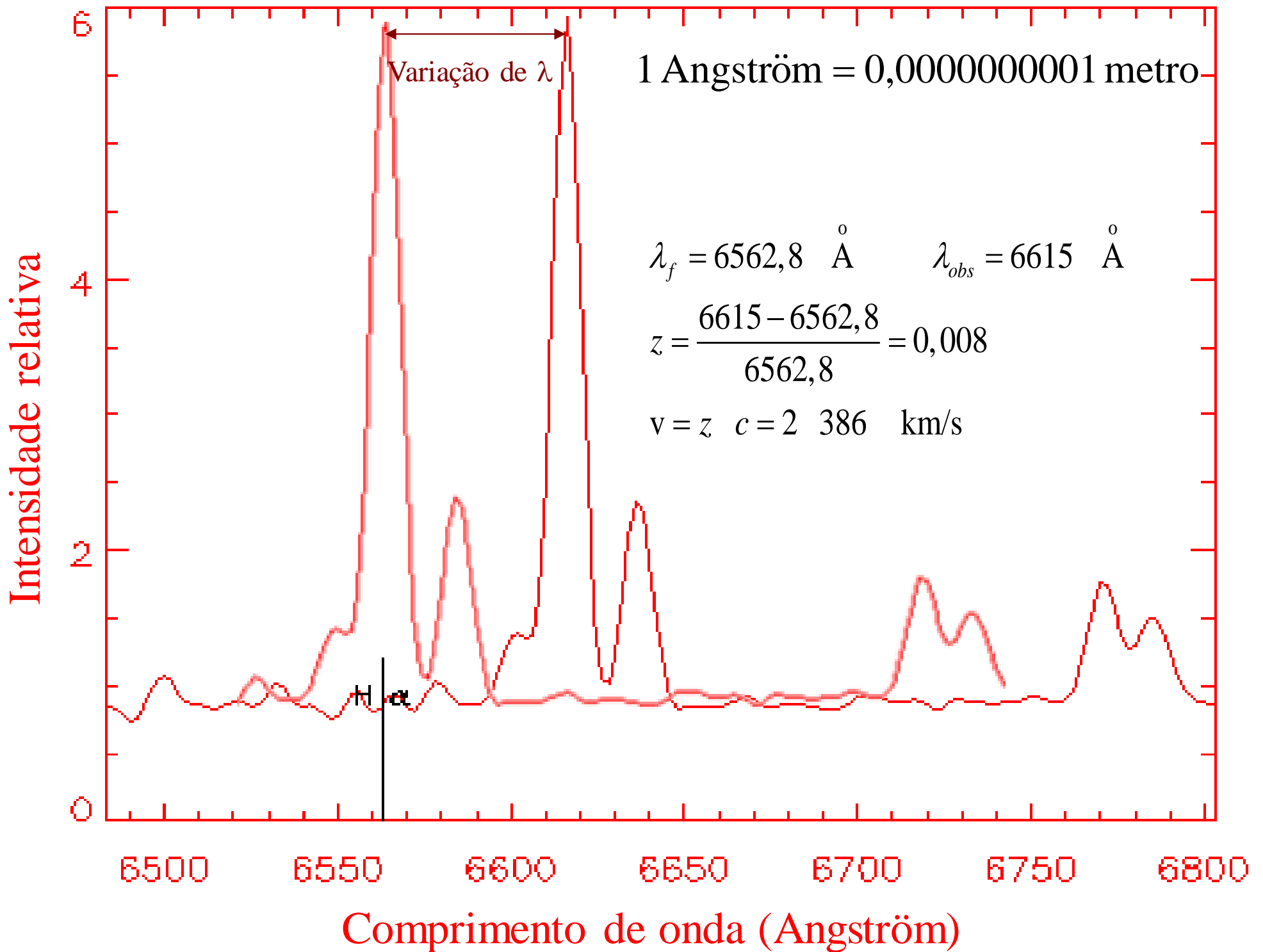
Maarten Schmidt  
(Palomar, 1963)  
 $z=0.158$  p/ 3C273  
 $\Rightarrow 47\,400$  km/s

$$z = \frac{\text{desvio para o vermelho}}{\text{para o}} = \frac{\text{velocidade da fonte}}{\text{velocidade da luz}} = \frac{\lambda_{obs} - \lambda_{ref\ fonte}}{\lambda_{ref\ fonte}}$$

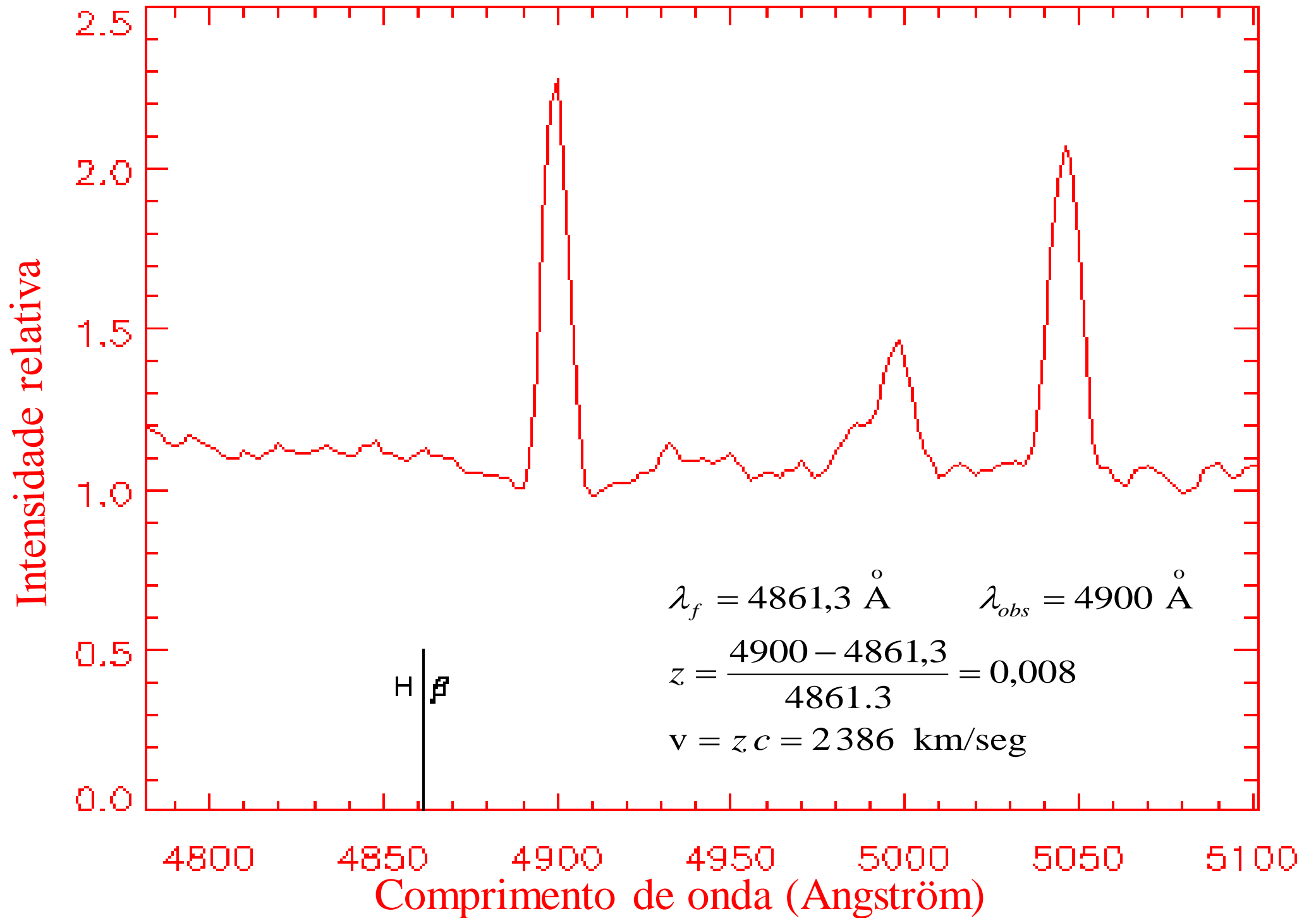
$$z = v/c$$
$$c = 300\,000 \text{ km/seg}$$

Válido para  $v$  muito menor que  $c$

# NGC 2276 – Hidrogênio $\alpha$ (6562.8Å)



# NGC 2276 – Hidrogênio $\beta$ (4861.3Å)



# A expansão do Universo e a lei de Hubble.

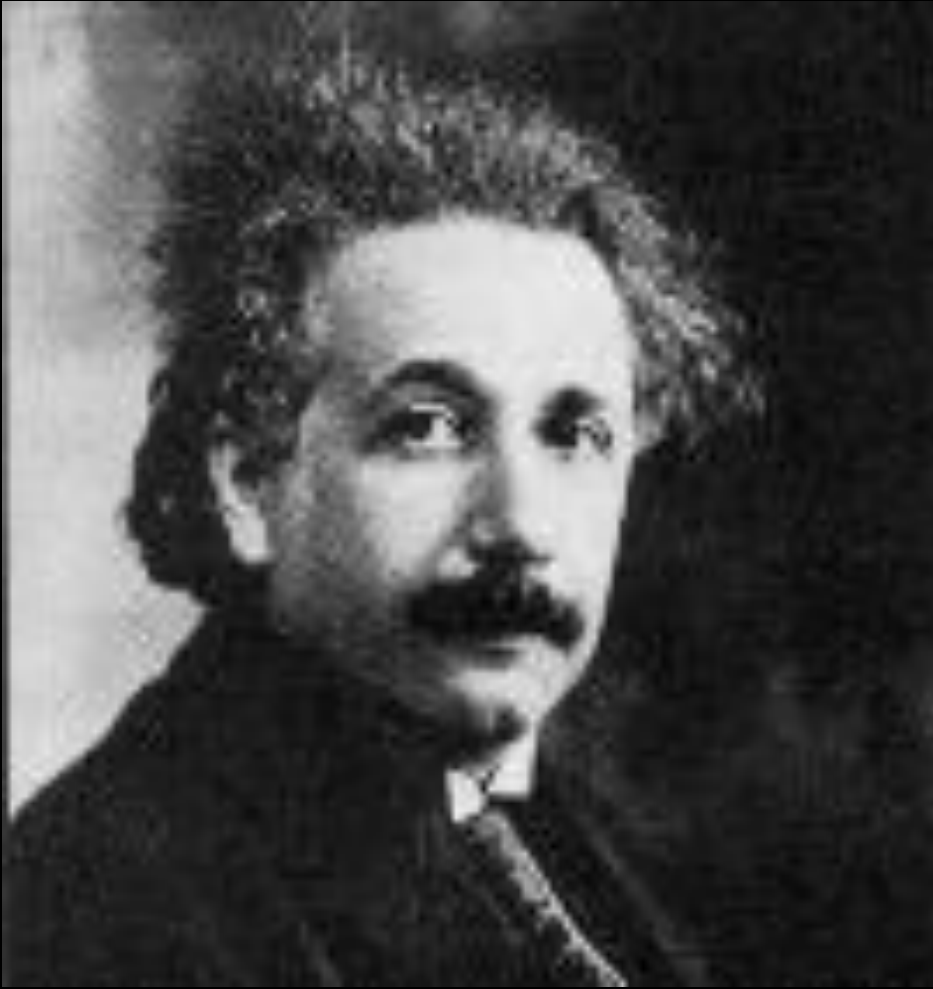


V. M. Slipher

- A velocidade de Andrômeda estimada por Slipher foi de, aproximadamente, 300km/seg.
- Em 1915 ele já tinha 40 medidas de espectro de nebulosas com 15 velocidades estimadas, número que sobe para 25 em 1917.
- Contrariamente ao que fora observado em Andrômeda a grande maioria apresentava velocidades positivas. Por exemplo, das 41 nebulosas com desvio para o vermelho medido em 1923, apenas 5 (incluindo Andrômeda) aproximavam-se de nós.

**Teoria**

# O Modelo de Einstein e a Constante Cosmológica



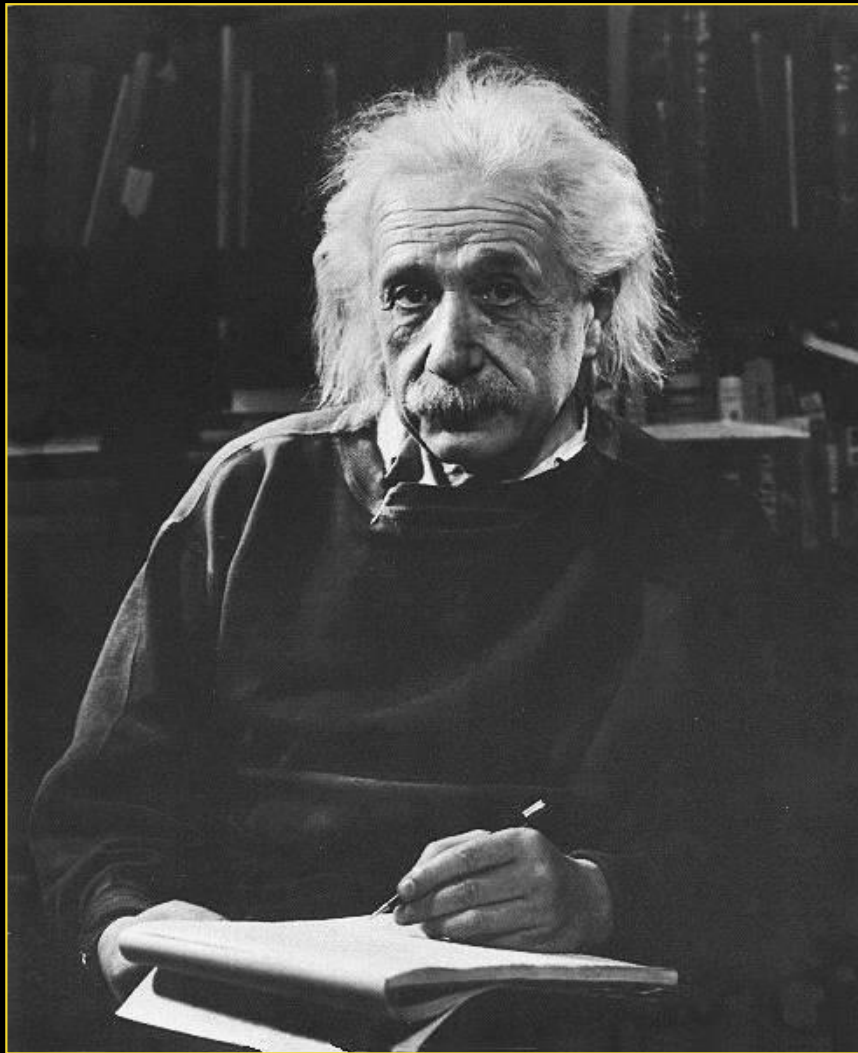
Albert Einstein

- 1917 - primeiro modelo cosmológico relativista - **modelo de Einstein.**
- características principais: homogêneo, isotrópico, curvatura positiva e **estático.**
- constante cosmológica ( $\Lambda$ )

“The most important fact that we draw from experience is that the relative velocities of the stars are very small as compared with the velocity of light”.

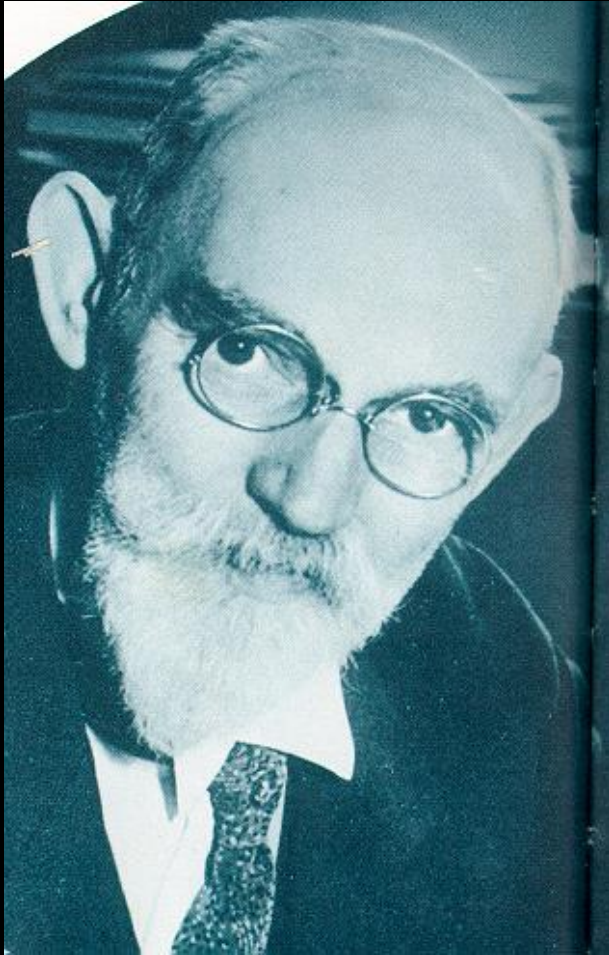
A. Einstein

# O Modelo de Einstein e a Constante Cosmológica



- **Einstein considerava que seu modelo possuía as seguintes virtudes:**
- **Era possível construir um modelo consistente para o universo usando a relatividade geral.**
- **Relacionava  $\Lambda$  com densidade média da matéria; Estava em acordo com o princípio de Mach que relaciona a inércia (propriedade local) com a distribuição de matéria no cosmos.**
- **Einstein acreditava ser esse o único modelo admitido pela relatividade geral que era estático e que estava em acordo com o princípio de Mach.**

# Efeito de Sitter



Willem de Sitter

- Em 1917 de Sitter (holandês) obtem novas soluções da Relatividade Geral com constante cosmológica, estacionárias, mas vazias !
- **Efeito de Sitter:** a velocidade de afastamento de objetos aleatoriamente espalhados em um Universo de de Sitter aumenta com a distância.

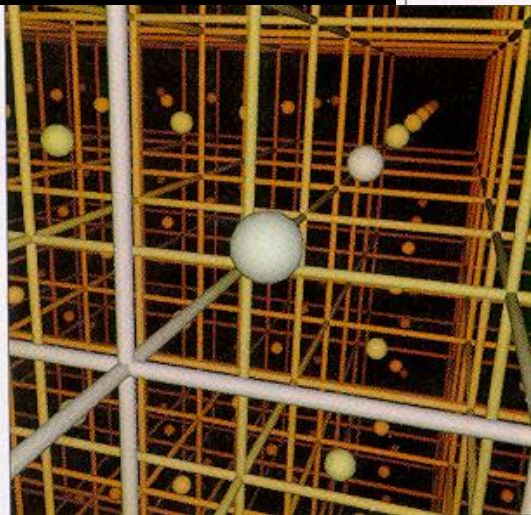
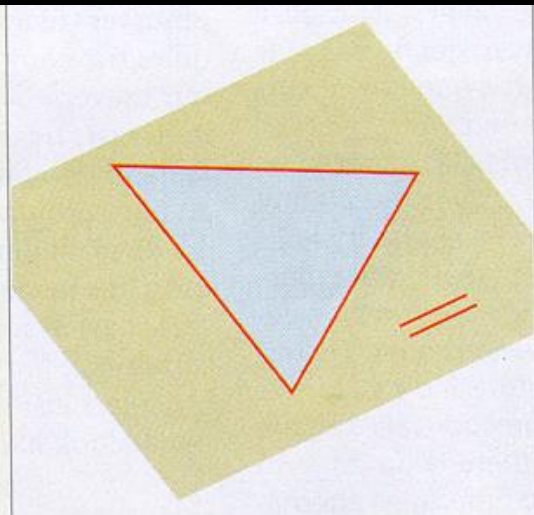
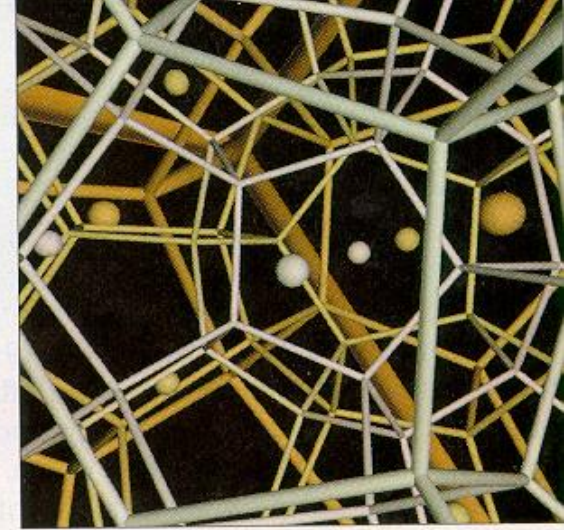
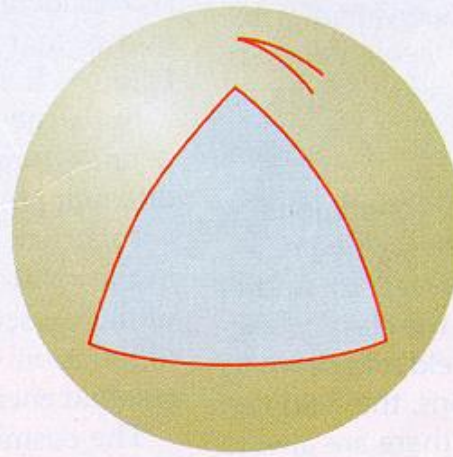
# Modelo de Friedmann-Lemaître



G. Lemaître

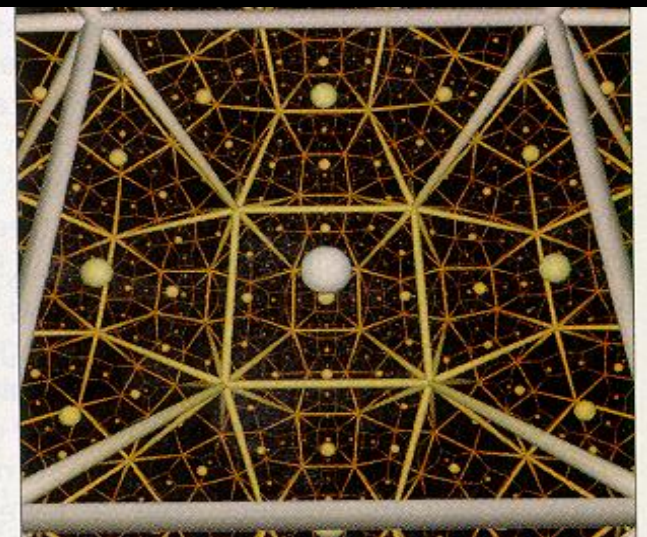
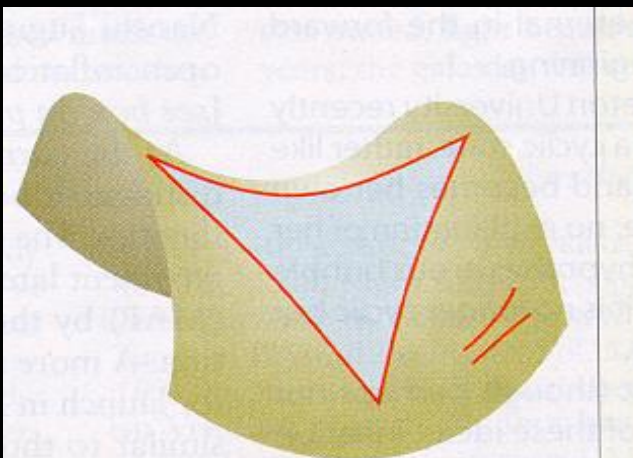
- 1922 - Aleksander Aleksandrovich Friedmann (russo) obtem soluções expansionistas, sem  $\Lambda$  e com matéria das equações de Einstein.
- O modelo de Friedmann é chamado hoje o modelo padrão da cosmologia.
- Características principais: homogeneidade, isotropia (em relação a qualquer ponto) e expansão.

Curvatura espacial positiva



Curvatura espacial nula

Curvatura espacial negativa



# A lei de Hubble.



Milton Humason e Hubble

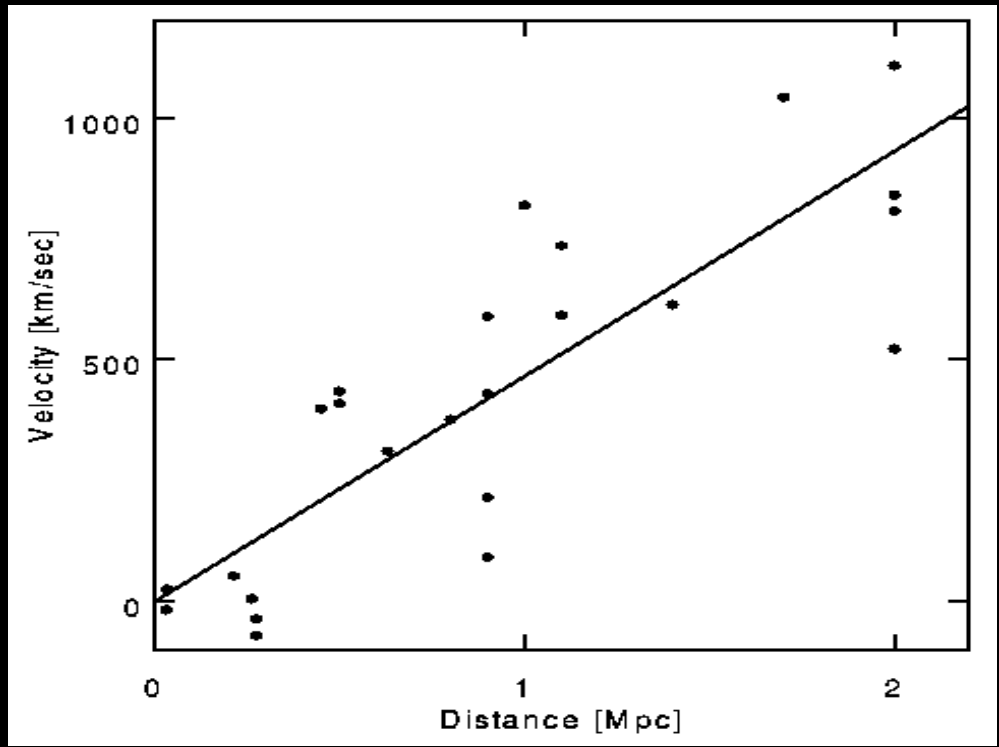
- Em 1929 e nos anos subsequentes Hubble sistematicamente estende suas medidas de distância, e usando desvios para o vermelho medidos por Humason, coloca sobre uma base firme a validade da relação que viria a se chamar ***Lei de Hubble***

# A lei de Hubble.

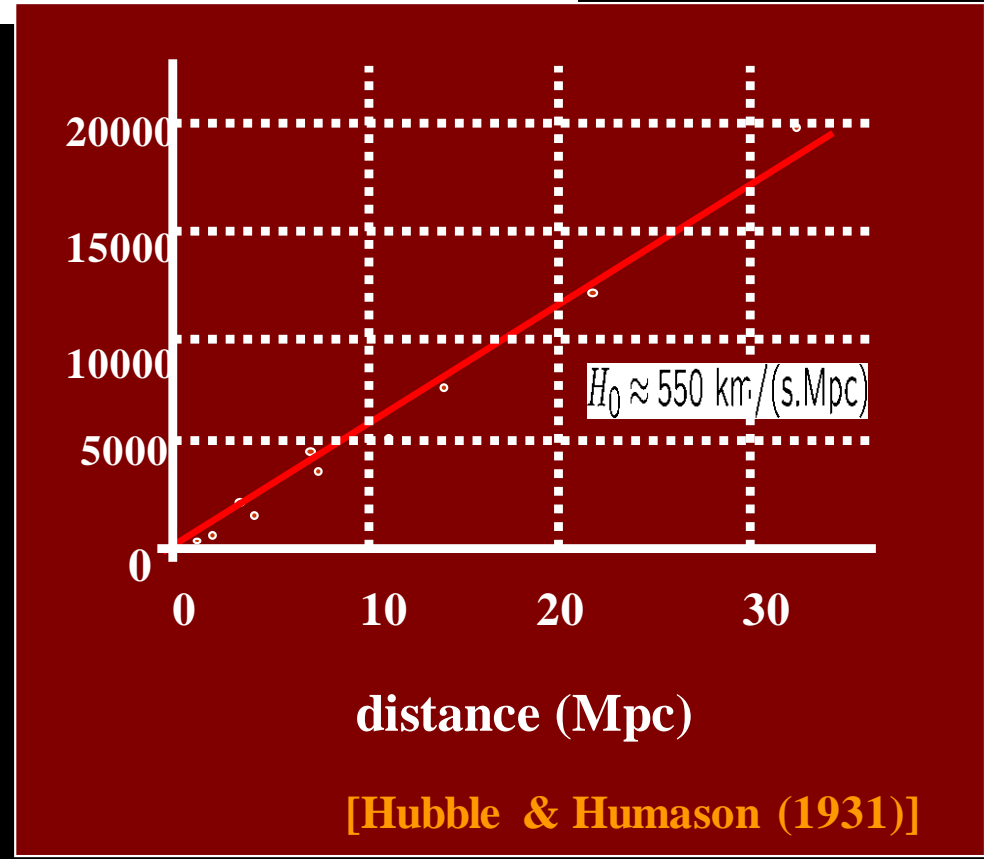
desvio de recessão =  $H \times$  distância (mos)

velocidade de recessão =  $H \times$  distância (mos)

$c z = v$



[Hubble (1929)]



[Hubble & Humason (1931)]

40000

$H_0 = 100 h \text{ km}/(s \text{ Mpc})$

$h = 0.72 \pm .03 \pm .07$  Freedman et al. (Hubble Key Project)

$h = 0.57 \pm .02$  Sandage, Tammann, et al.

Velocity (km/sec)

20000

10000

0

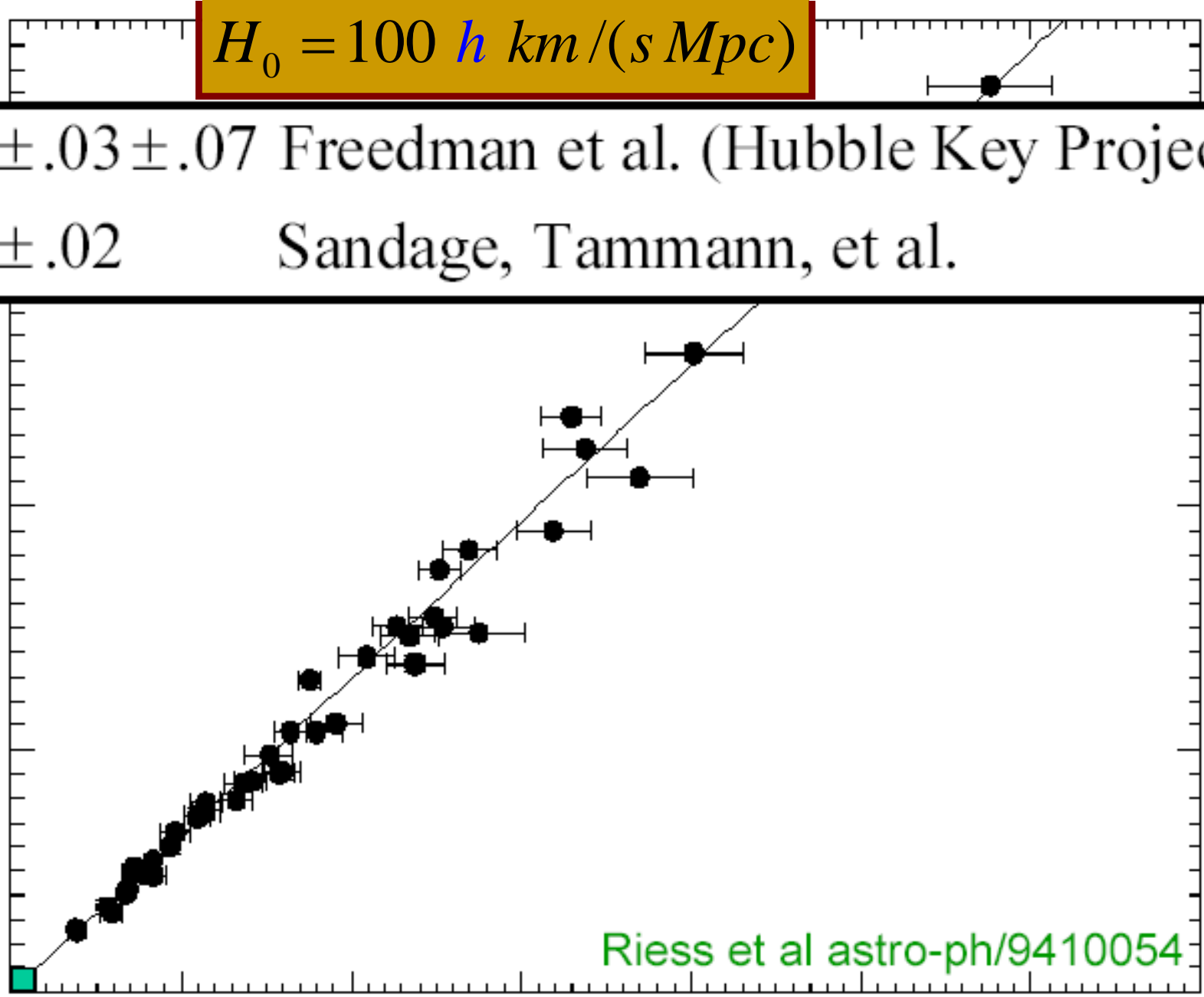
Riess et al astro-ph/9410054

0 100 200 300 400 500 600 700

Distance (Mpc)

Hubble's  
data

Kolb



# A lei de Hubble



**Onde está o centro do Big Bang?**

# A lei de Hubble



**Não há centro do Universo**

**Para onde estão as  
galáxias se  
expandindo?**

# As galáxias estão se expandindo para o espaço vazio?

**Não**



**Sim**





# News 1963!

## 3C273 estoura o tamanho do Universo



Distância: cerca de  
2 bilhões de anos-luz



# O que quer dizer “distância” para as distâncias das galáxias?

- As diversas definições de distância não coincidem em relatividade geral
- Desse modo é preferível usar o redshift
- Por exemplo, distância usada na lei de Hubble é a distância luminosidade

$$f = \frac{L}{4\pi D_L^2}$$

# Definições de Distância

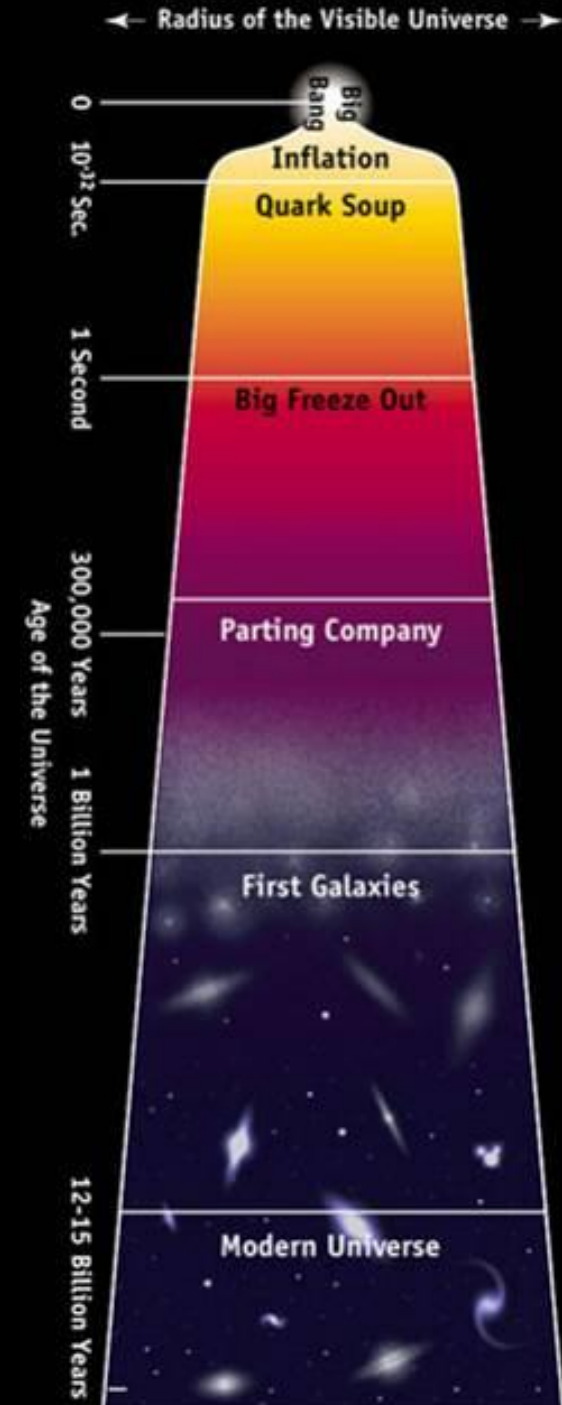
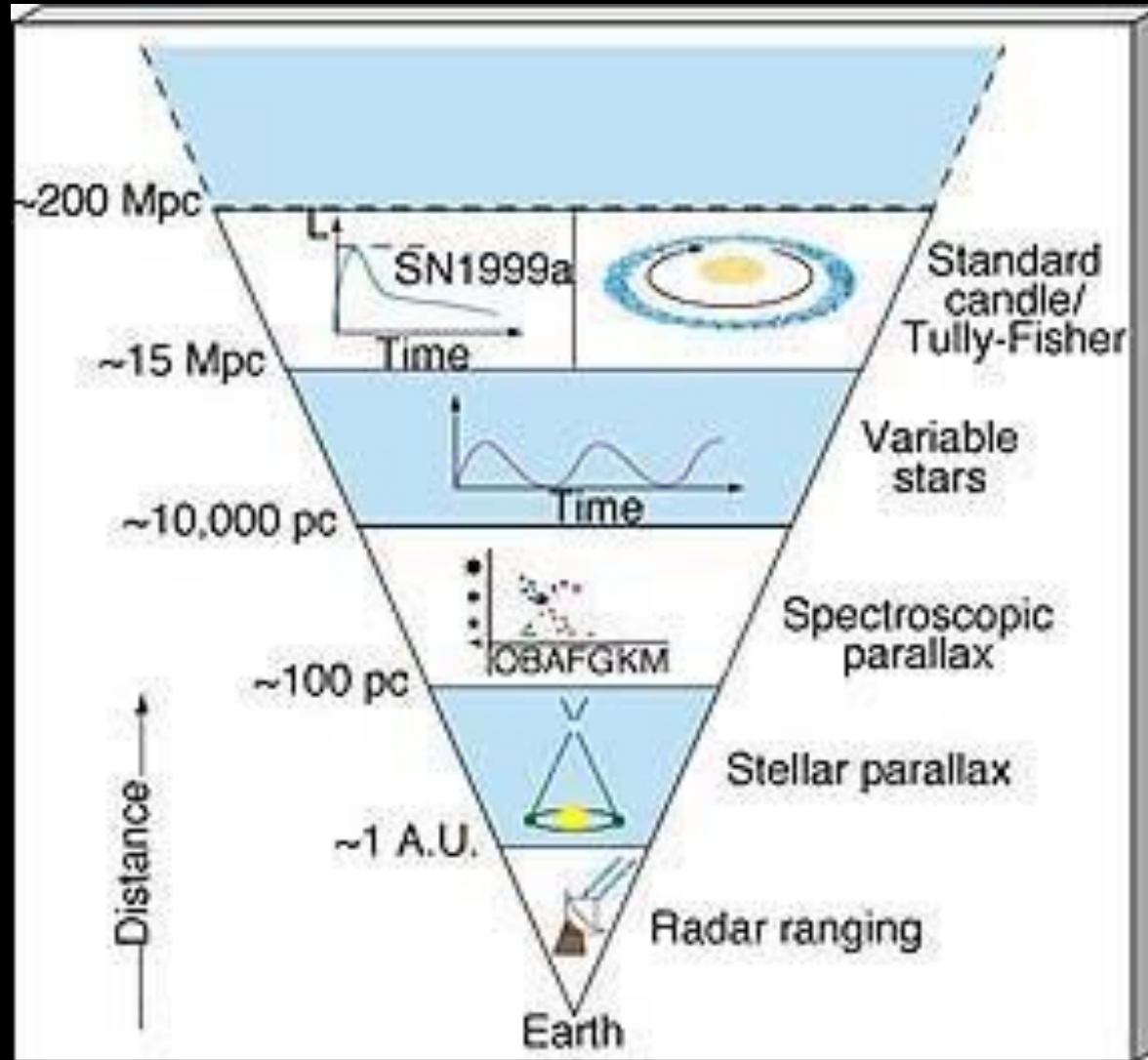
- Distância radar
- Distância paralaxe
- Distância movimento próprio
- Distância luminosidade
- Distância diâmetro angular



# A Máquina do Tempo

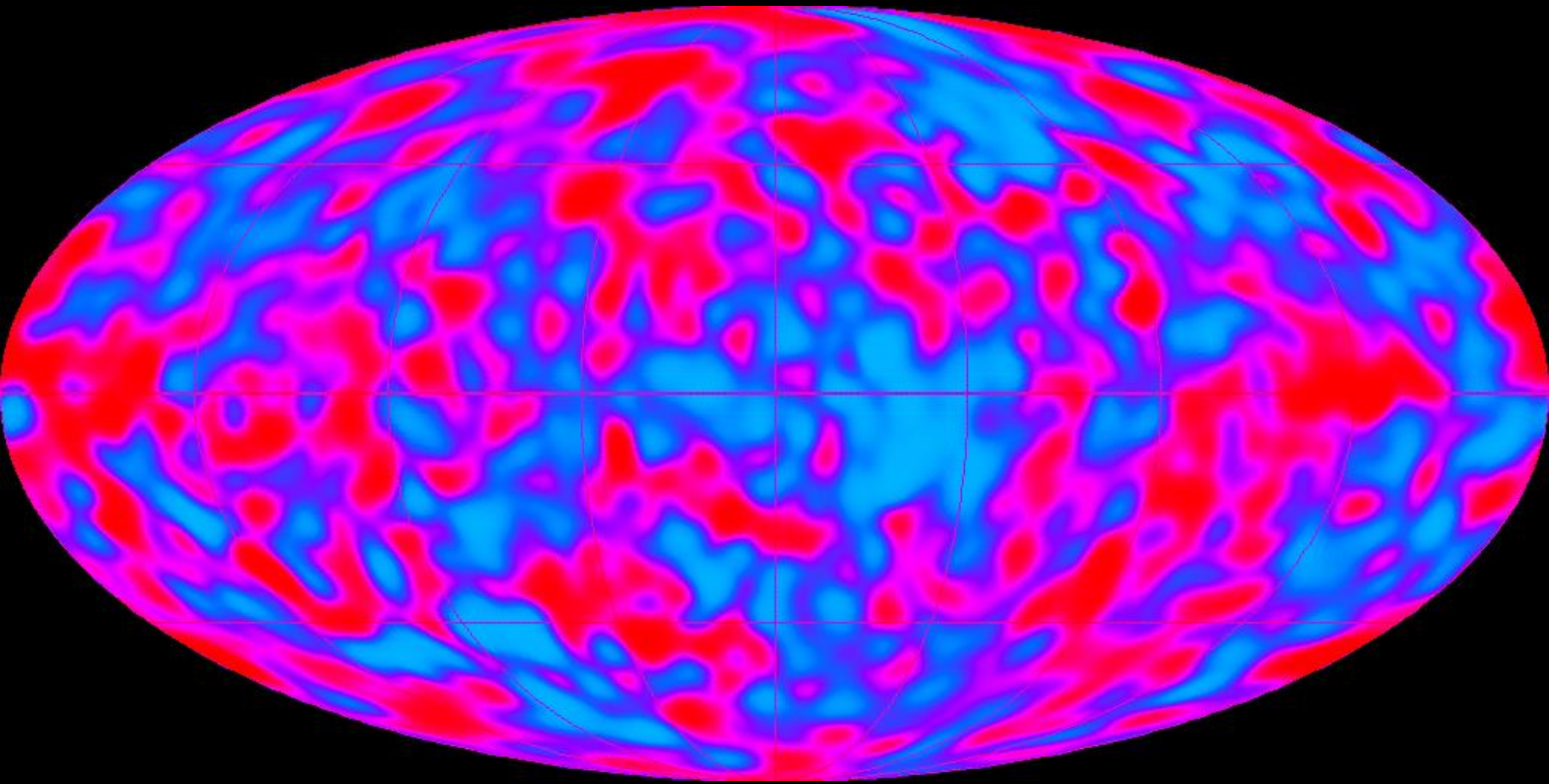
- Em uma observação astronômica, sempre estamos olhando o passado
- Quando observamos Andrômeda (M31), vemos algo que ocorreu 2 milhões de anos atrás
- Porém, compare isso com a Idade do Universo
  - 13-15 bilhões de anos.
- No caso de quasares, porém estamos olhando para um passado com mais de 2 bilhões de anos
  - Cosmologia e evolução de galáxias

# Cosmology “Double Helix” – Space and Time

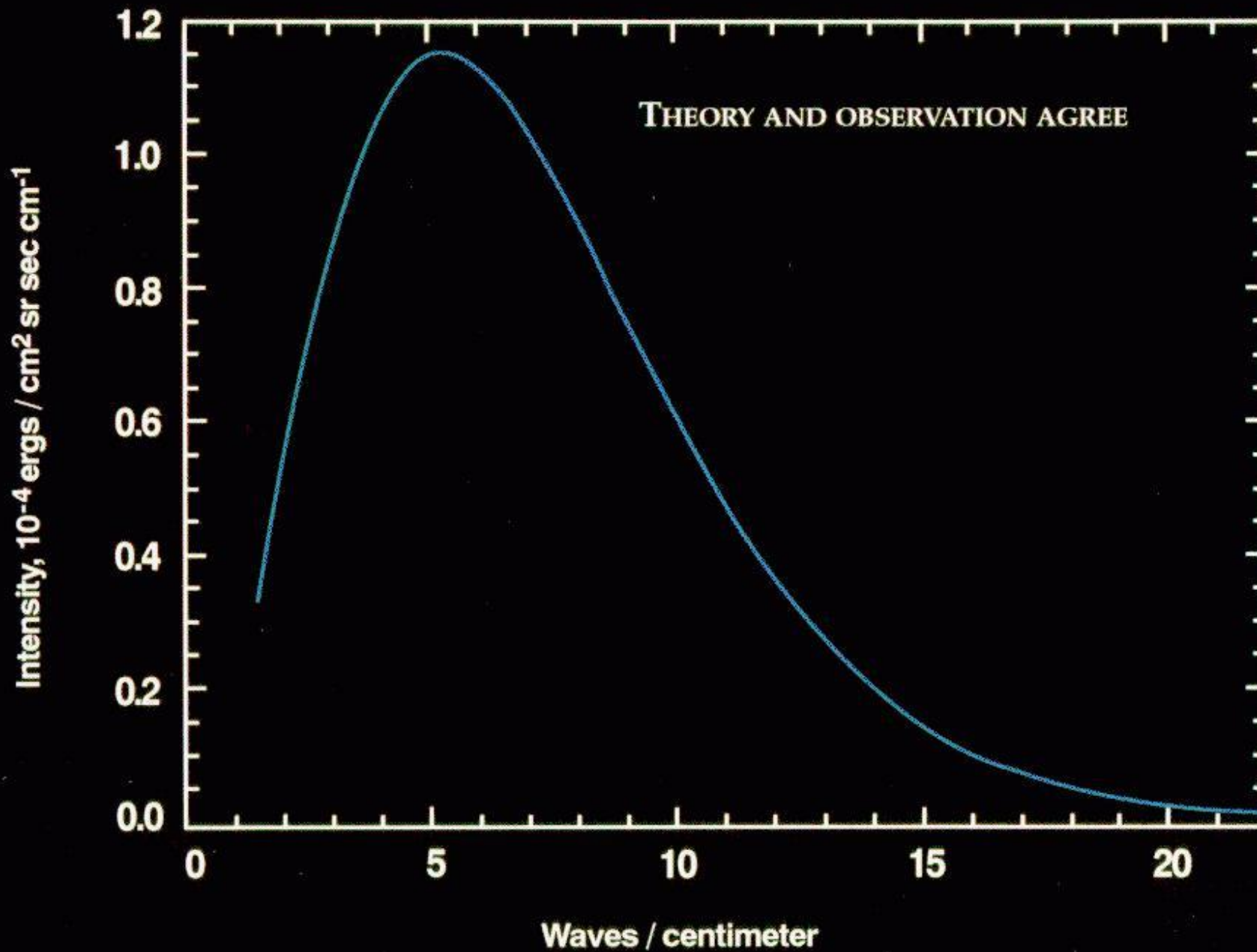




# RADIAÇÃO DE FUNDO CÓSMICA

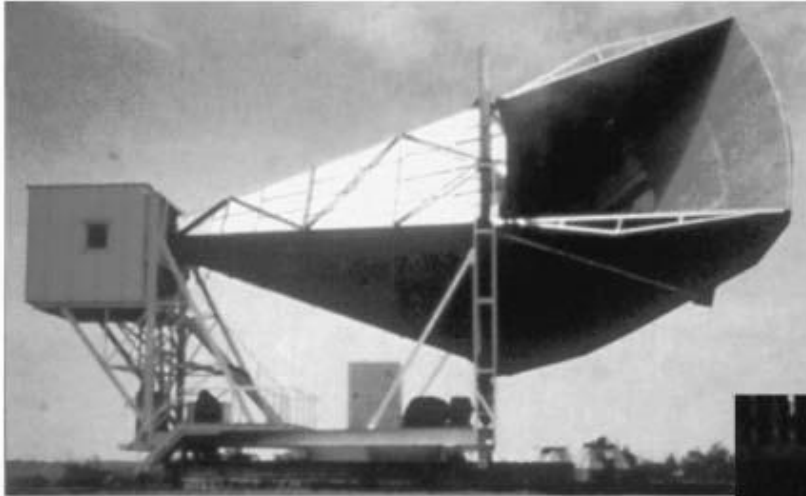


# COSMIC MICROWAVE BACKGROUND SPECTRUM FROM COBE



**T=2,725 K**

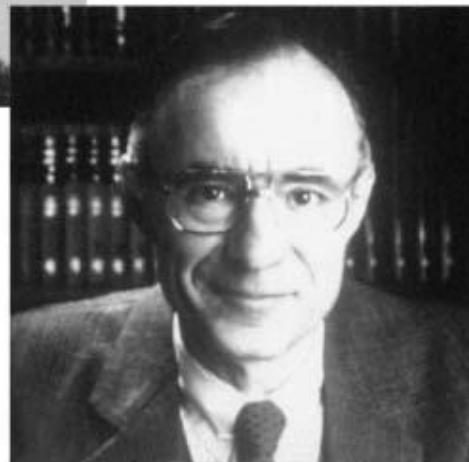
# Descoberta da Radiação de Fundo Cósmica



Microwave Receiver



Robert Wilson



Arno Penzias

Descoberta:  
1964/1965

Prêmio Nobel:  
1978

MAP990045



## The Nobel Prize in Physics 2006

"for their discovery of the blackbody form and anisotropy of the cosmic microwave background radiation"



Photo: NASA

**John C. Mather**

1/2 of the prize

USA

NASA Goddard  
Space Flight Center  
Greenbelt, MD, USA

b. 1946

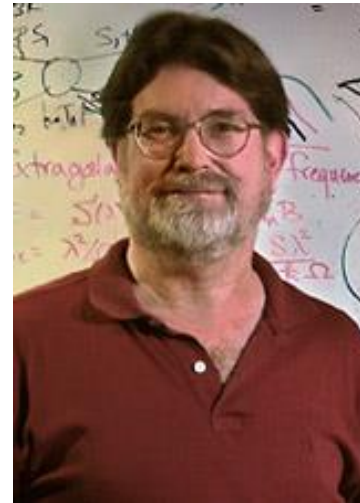


Photo: Berkeley

**George F. Smoot**

1/2 of the prize

USA

University of  
California  
Berkeley, CA, USA

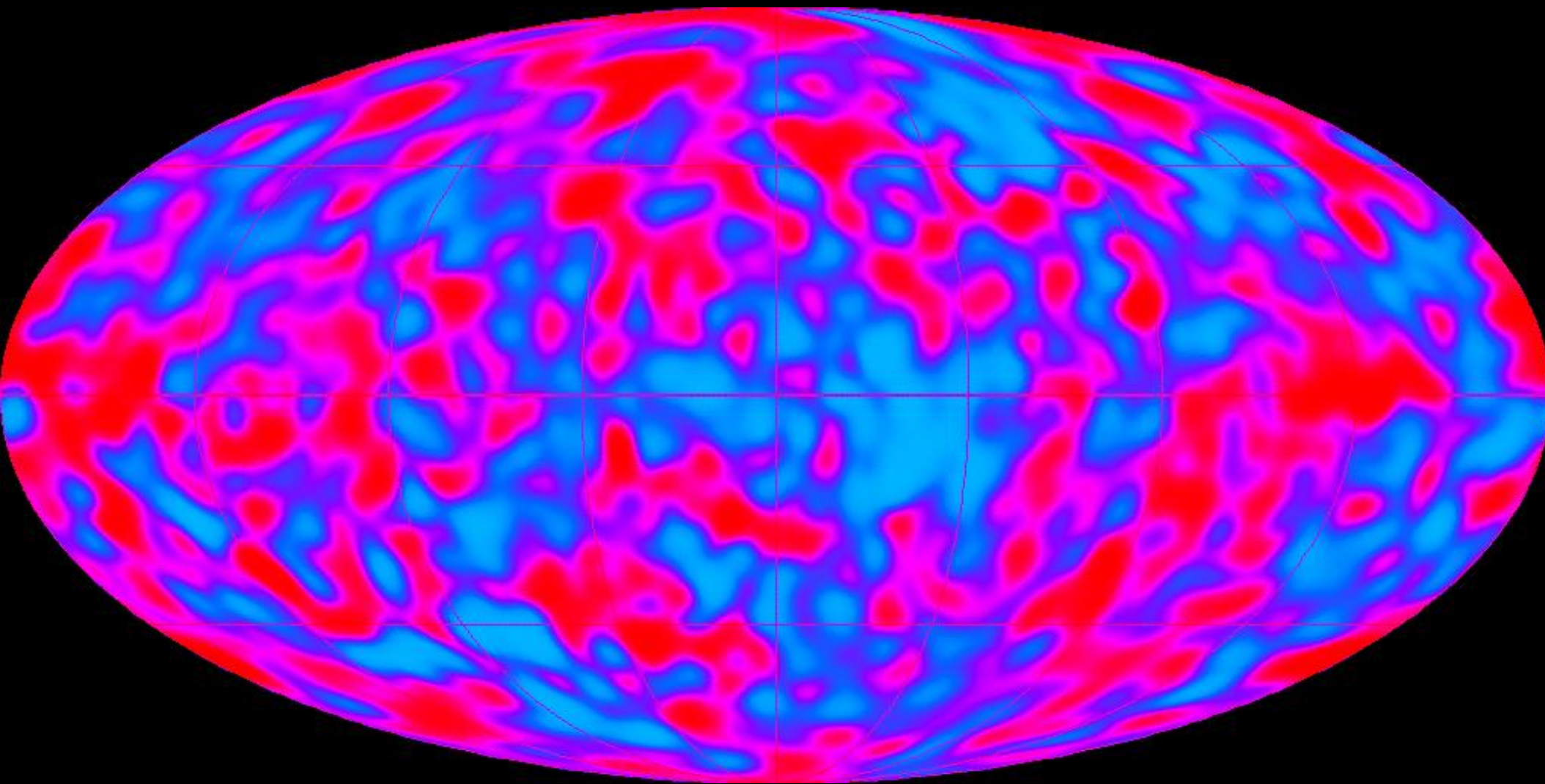
b. 1945

# Satélite COBE

Lançamento: 1992



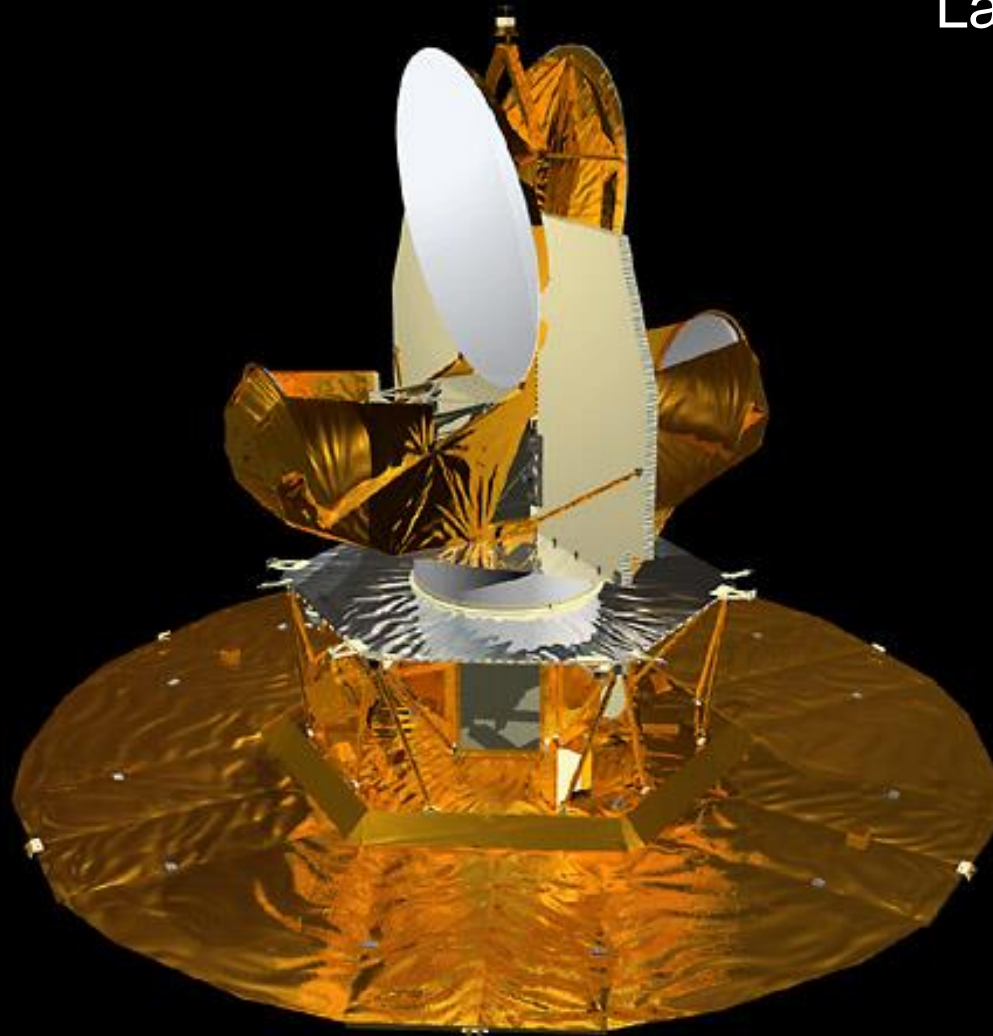
# Resultados do COBE



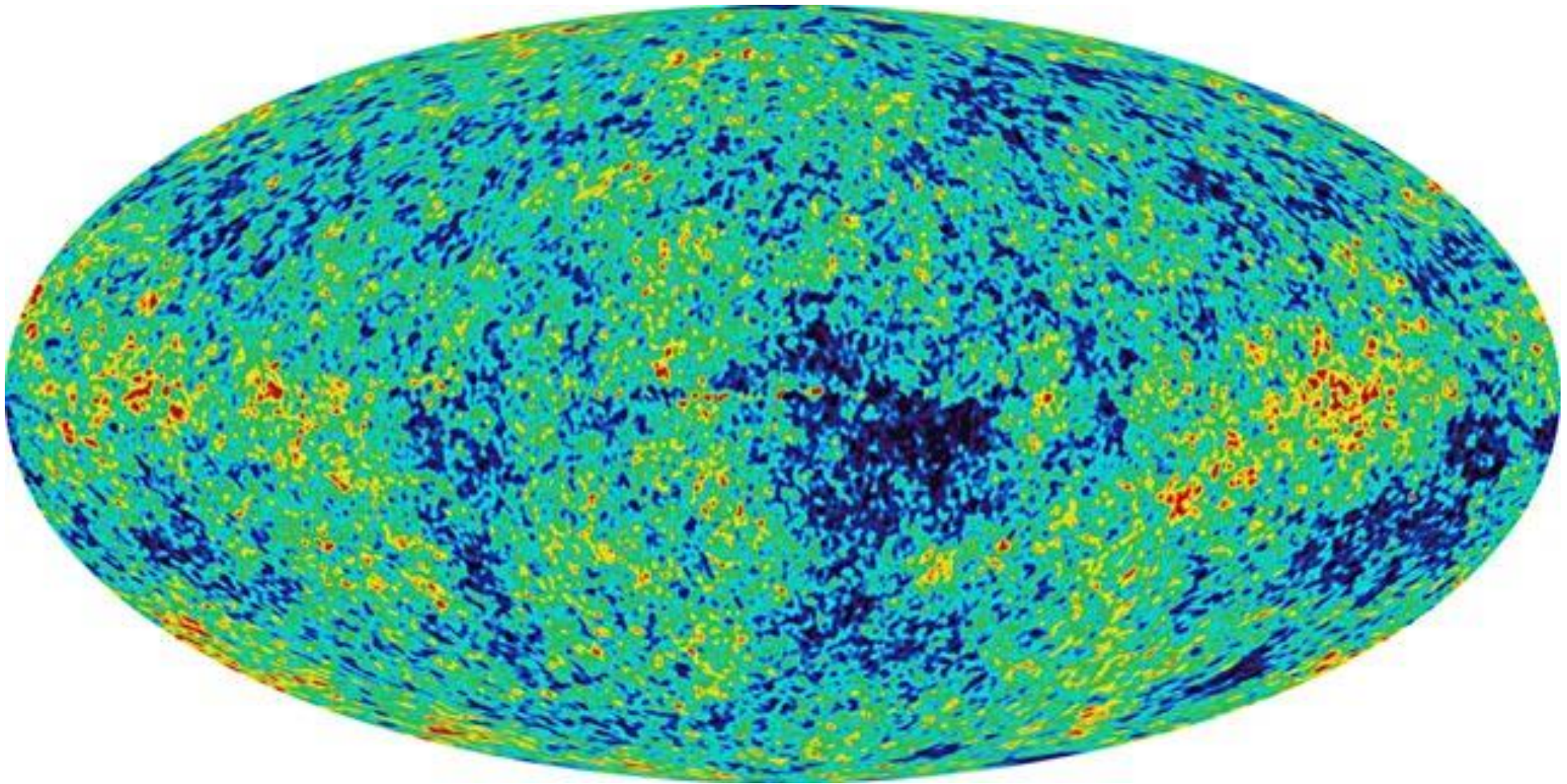
1996 (quatro anos)

# Satélite WMAP

Lançamento: 2002

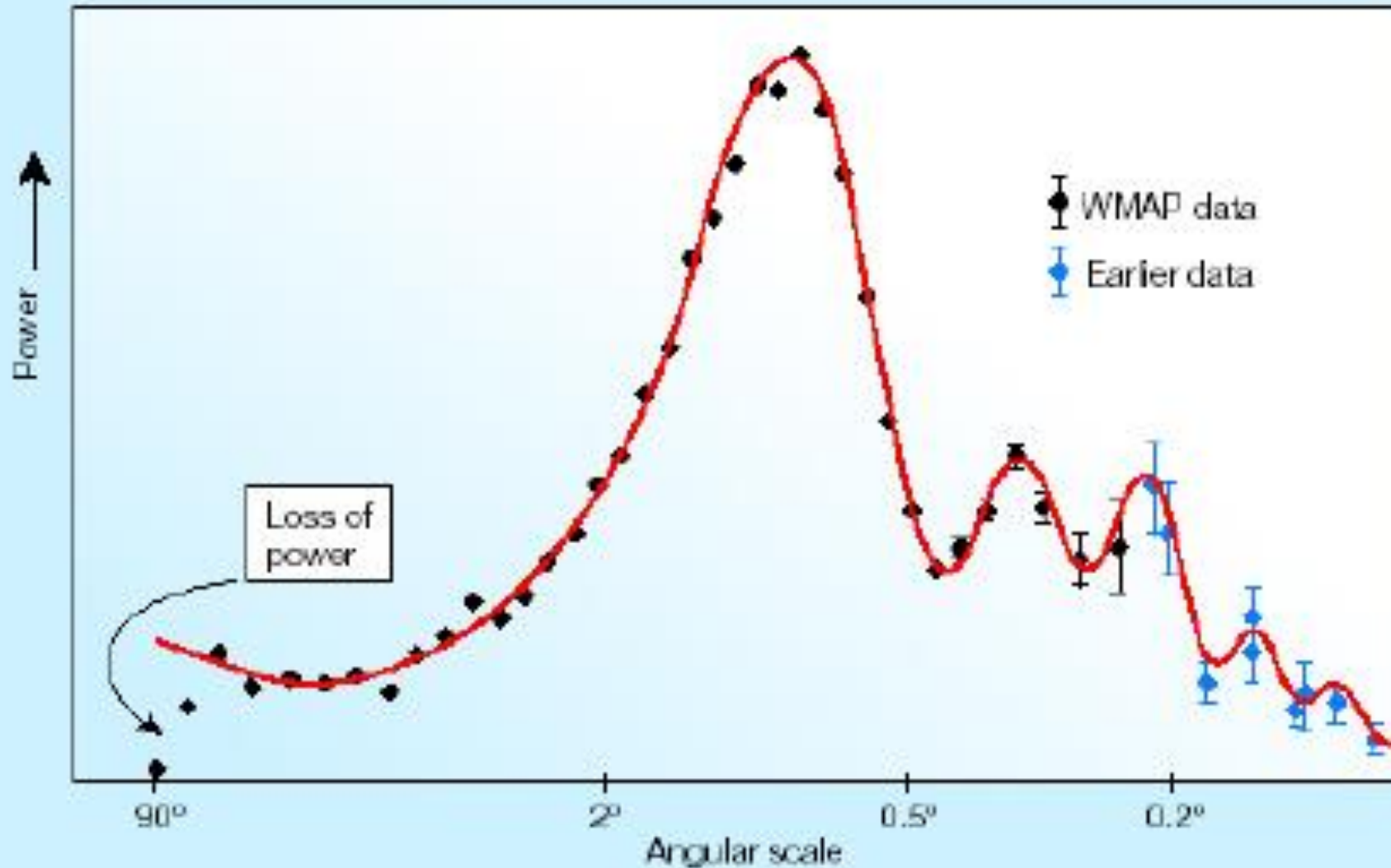


# Resultados do WMAP



2003 (1 ano)

# WMAP Anisotropy MAP



# Satélite Planck

Lançamento: 2009



# Resultados esperados do Planck

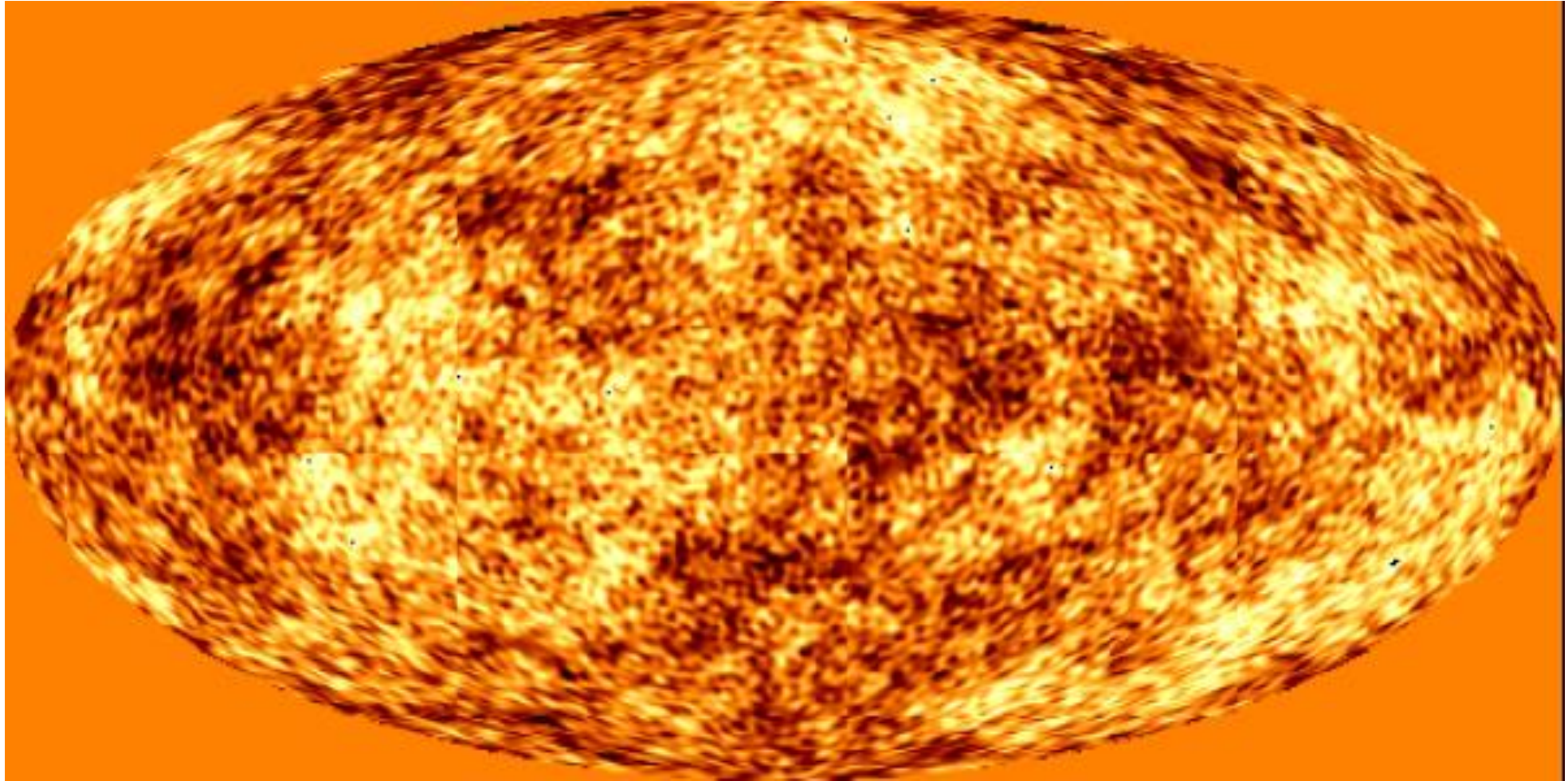
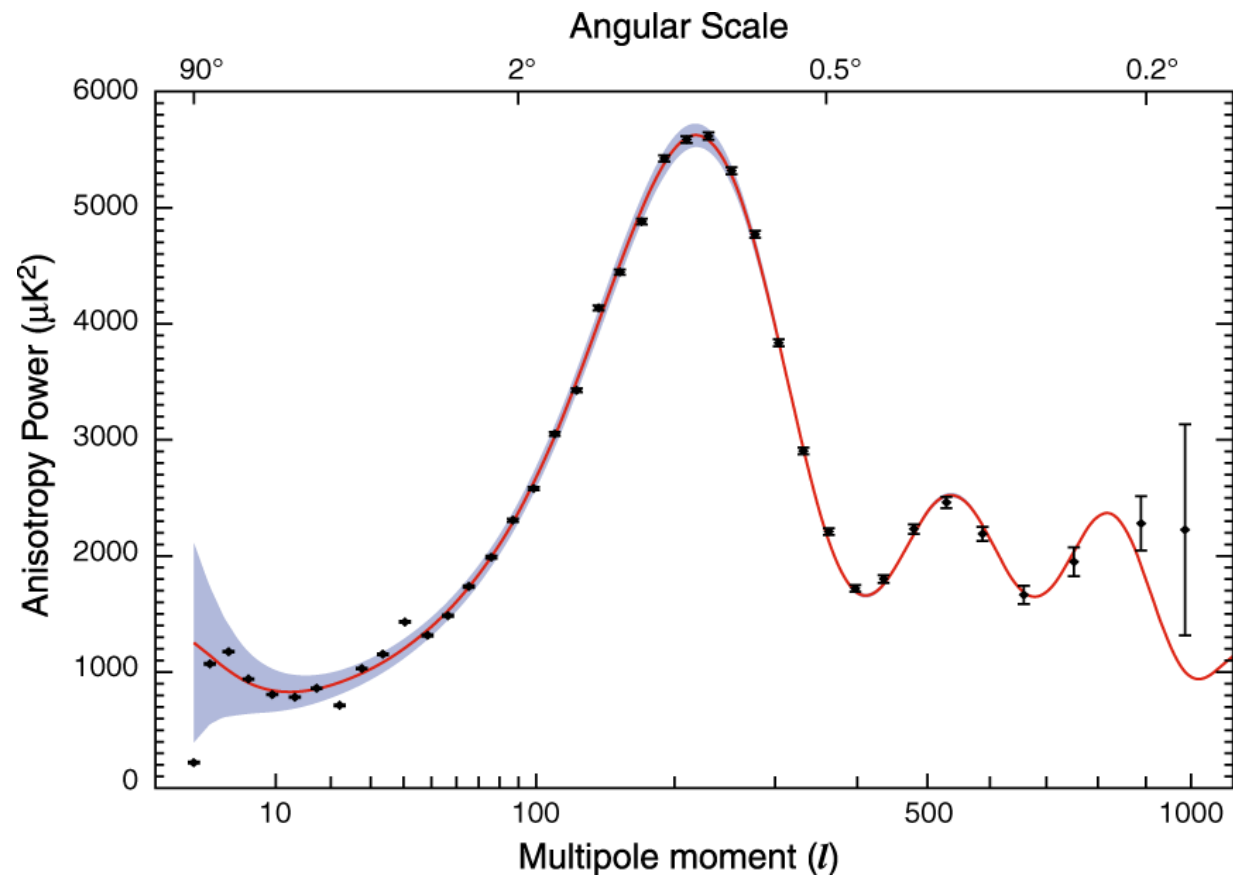


Table 3. “Best” Cosmological Parameters

Description	Symbol	Value	+ uncertainty	– uncertainty
Total density	$\Omega_{tot}$	1.02	0.02	0.02
Equation of state of quintessence	$w$	$< -0.78$	95% CL	—
Dark energy density	$\Omega_\Lambda$	0.73	0.04	0.04
Baryon density	$\Omega_b h^2$	0.0224	0.0009	0.0009
Baryon density	$\Omega_b$	0.044	0.004	0.004
Baryon density ( $\text{cm}^{-3}$ )	$n_b$	$2.5 \times 10^{-7}$	$0.1 \times 10^{-7}$	$0.1 \times 10^{-7}$
Matter density	$\Omega_m h^2$	0.135	0.008	0.009
Matter density	$\Omega_m$	0.27	0.04	0.04
Light neutrino density	$\Omega_\nu h^2$	$< 0.0076$	95% CL	—
CMB temperature (K) <sup>a</sup>	$T_{\text{cmb}}$	2.725	0.002	0.002
CMB photon density ( $\text{cm}^{-3}$ ) <sup>b</sup>	$n_\gamma$	410.4	0.9	0.9
Baryon-to-photon ratio	$\eta$	$6.1 \times 10^{-10}$	$0.3 \times 10^{-10}$	$0.2 \times 10^{-10}$
Baryon-to-matter ratio	$\Omega_b \Omega_m^{-1}$	0.17	0.01	0.01
Fluctuation amplitude in $8h^{-1}$ Mpc spheres	$\sigma_8$	0.84	0.04	0.04
Low- $z$ cluster abundance scaling	$\sigma_8 \Omega_m^{0.5}$	0.44	0.04	0.05
Power spectrum normalization (at $k_0 = 0.05 \text{ Mpc}^{-1}$ ) <sup>c</sup>	$A$	0.833	0.086	0.083
Scalar spectral index (at $k_0 = 0.05 \text{ Mpc}^{-1}$ ) <sup>c</sup>	$n_s$	0.93	0.03	0.03
Running index slope (at $k_0 = 0.05 \text{ Mpc}^{-1}$ ) <sup>c</sup>	$dn_s/d \ln k$	-0.031	0.016	0.018
Tensor-to-scalar ratio (at $k_0 = 0.002 \text{ Mpc}^{-1}$ )	$r$	$< 0.90$	95% CL	—
Redshift of decoupling	$z_{dec}$	1089	1	1
Thickness of decoupling (FWHM)	$\Delta z_{dec}$	195	2	2
Hubble constant	$h$	0.71	0.04	0.03
Age of universe (Gyr)	$t_0$	13.7	0.2	0.2
Age at decoupling (kyr)	$t_{dec}$	379	8	7
Age at reionization (Myr, 95% CL)	$t_r$	180	220	80
Decoupling time interval (kyr)	$\Delta t_{dec}$	118	3	2
Redshift of matter-energy equality	$z_{eq}$	3233	194	210
Reionization optical depth	$\tau$	0.17	0.04	0.04
Redshift of reionization (95% CL)	$z_r$	20	10	9
Sound horizon at decoupling ( $^\circ$ )	$\theta_A$	0.598	0.002	0.002
Angular size distance (Gpc)	$d_A$	14.0	0.2	0.3
Acoustic scale <sup>d</sup>	$\ell_A$	301	1	1
Sound horizon at decoupling (Mpc) <sup>d</sup>	$r_s$	147	2	2

<sup>a</sup>from *COBE* (Mather et al. 1999)<sup>b</sup>derived from *COBE* (Mather et al. 1999)<sup>c</sup> $t_{eff} \approx 700$ <sup>d</sup> $\ell_A \equiv \pi \theta_A^{-1}$      $\theta_A \equiv r_s d_a^{-1}$

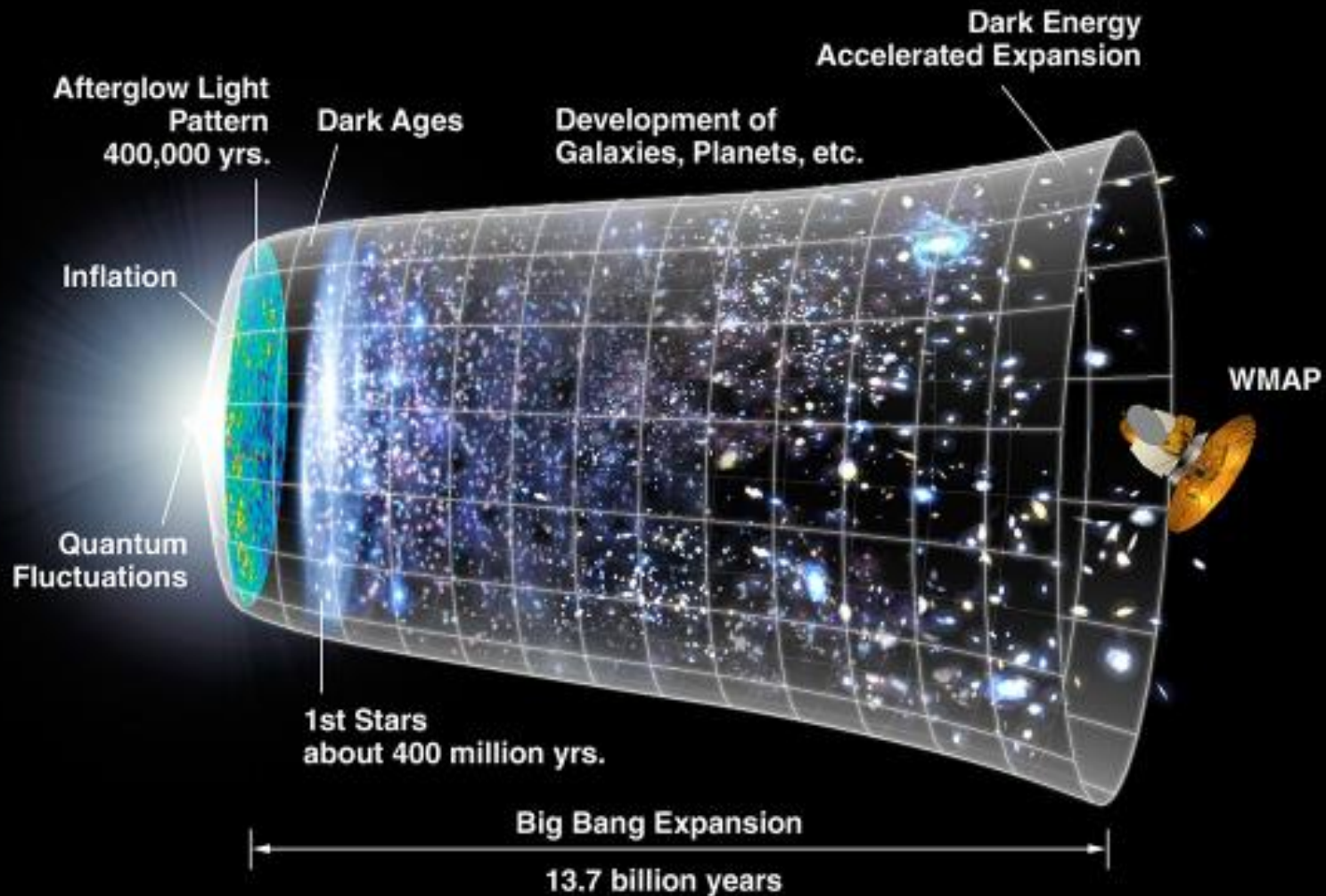
# O Timbre do Universo



# ECOS

*Eduardo Galeano*

Soava como o zumbido dos mosquitos no verão, mas não era verão. Naquela noite de 1964, Arno Penzias e Robert Wilson não conseguiam trabalhar tranquilos. De uma montanha de Nova Jersey, os dois astrônomos tratavam de medir as ondas emitidas por alguma galáxia, mas a antena captava um zumbido que não os deixava em paz. O zumbido atormentava os ouvidos, como ocorre quando as fêmeas dos mosquitos, famintas, enlouquecidas pelo calor, chamam os seus machos e acoçam as pessoas. Depois, soube-se. Por incrível que possa parecer, o zumbido era o eco da tremenda explosão que havia dado origem ao universo, há quinze bilhões de anos, um dia mais, um dia menos. Aquela vibração da antena não vinha das fêmeas dos mosquitos, mas de um estouro que havia fundado o tempo e o espaço e os astros e o resto. E talvez, quem sabe, digo eu, supondo, o eco ainda estivesse ali, ressoando, zumbindo no ar, porque queria ser escutado por nós, terrestres pessoinhas, que no fim das contas também somos ecos daquele remoto pranto do universo recém nascido.

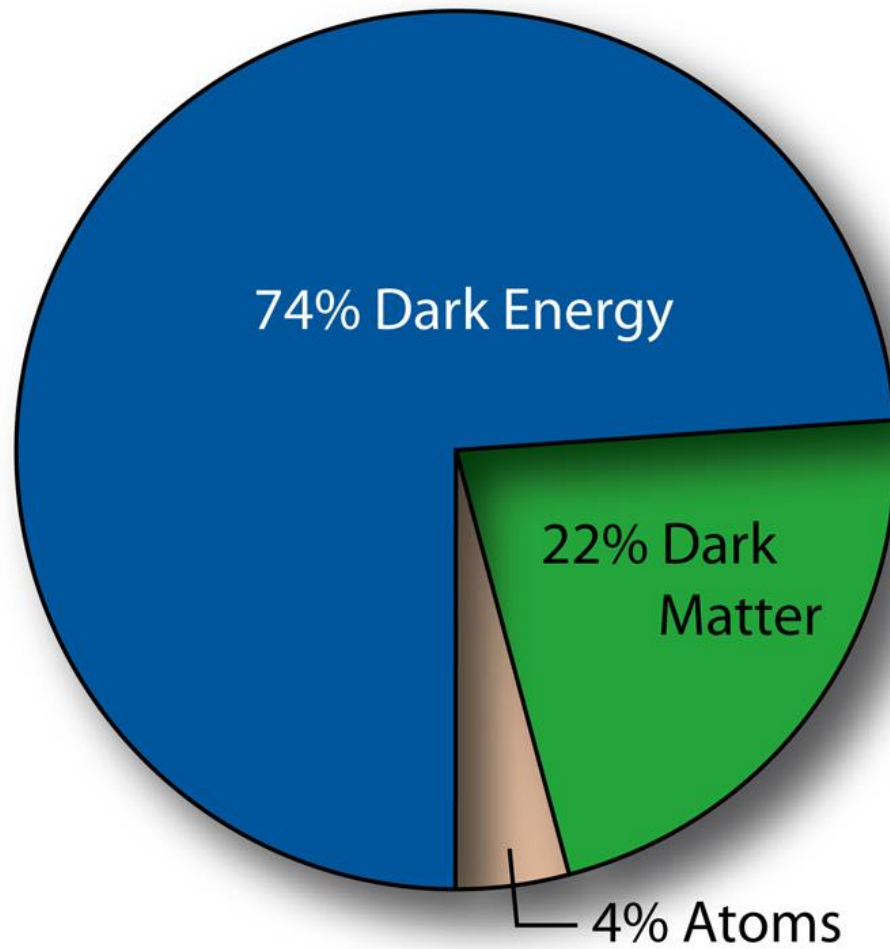


# Why Questions

- *Por que há algo em vez de nada?*
- *Por que existimos?*
- *Por que este conjunto particular de leis e não outro?*

Do que é feito o Universo?

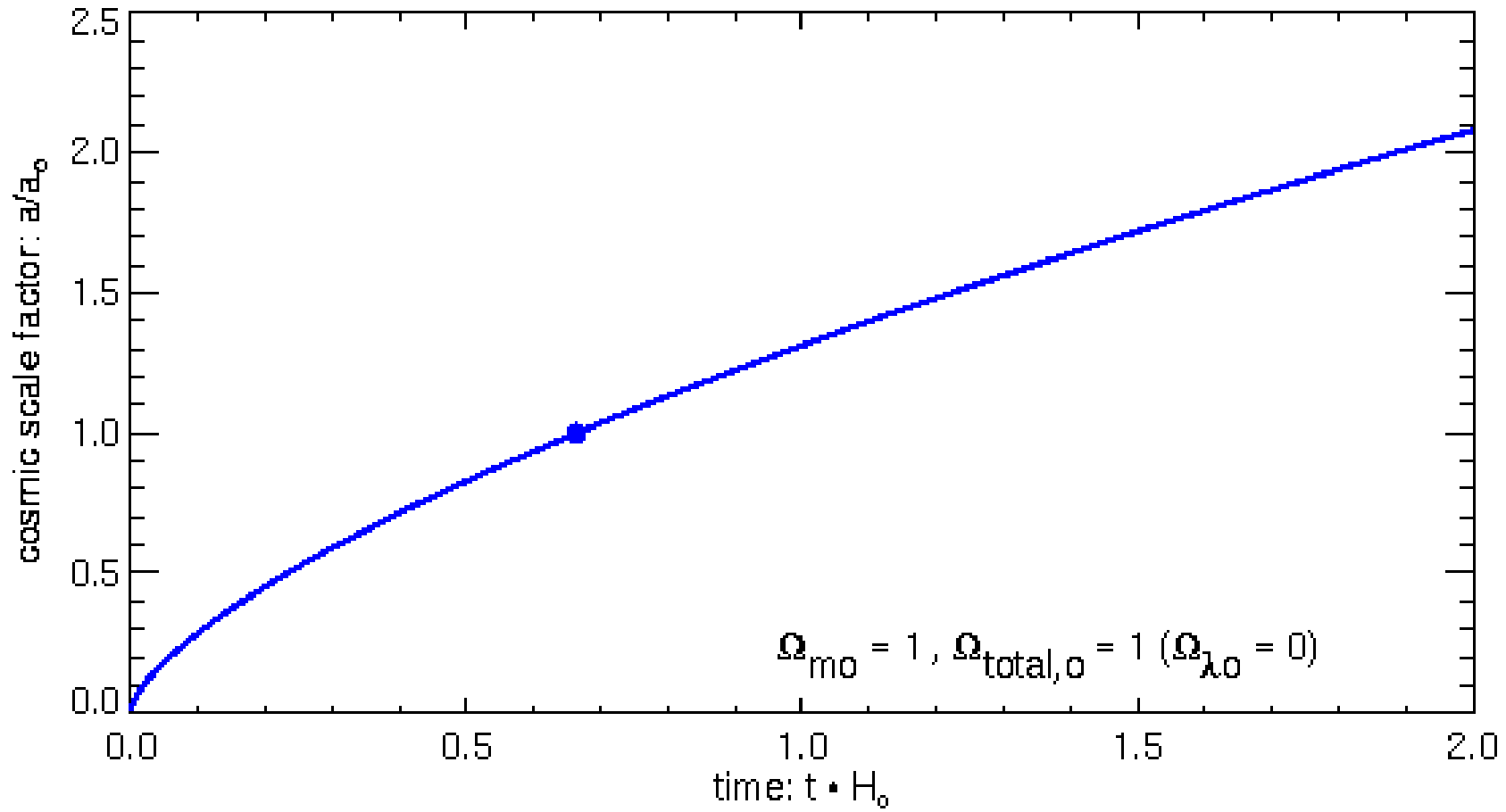
# A Receita do Universo



# O Universo é peso pesado?

- Equações da Relatividade Geral
- Suposições:
  - Universo homogêneo
  - Universo isotrópico
- Densidade crítica:  $\rho_c = 3H_0^2/8\pi G$   
 $\rho_c = 2.3 \times 10^{-30} \text{ g/cm}^3$  (1.4 átomos de H por  $\text{m}^3$ )  
para  $H_0 = 70 \text{ km/s/Mpc}$
- Parâmetro de densidade:  $\Omega = \rho/\rho_c$ 
  - $\Omega < 1$  espaço hiperbólico
  - $\Omega = 1$  espaço plano
  - $\Omega > 1$  espaço esférico

time evolution of the cosmic scale factor



# Do que é feito o Universo?

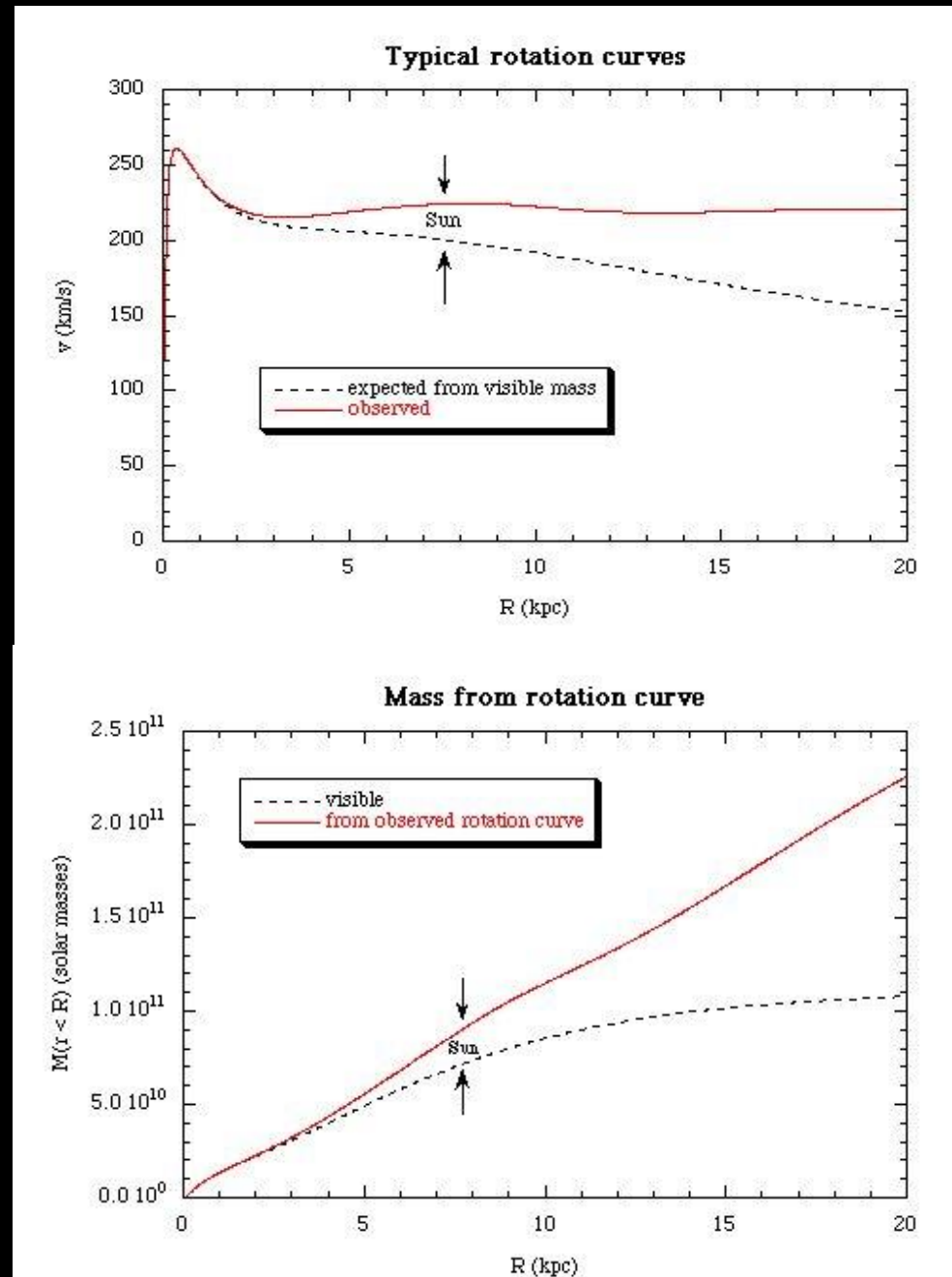
Falta alguma coisa:

## Matéria Escura

- Matéria luminosa:
  - Estrelas
  - Gás
- Evidências da matéria escura:
  - Curvas de rotação de galáxias
  - Dispersão de velocidades em aglomerados de galáxias
  - Lentes gravitacionais
  - Halos quentes em raios-X

# Curvas de Rotação de Galáxias

- Galáxias espirais:  
Lei de Kepler:  
 $GM/r^2 = v^2/r$
- Ao se englobar a massa visível, a velocidade decresceria
- Mas a curva de rotação é plana!  
⇒ Halo Escuro
- Massa escura  
=  $10 \times$  massa luminosa



# Aglomerados de Galáxias

- Primeira Evidência  
(Zwicky 1933)

- Teorema do Virial

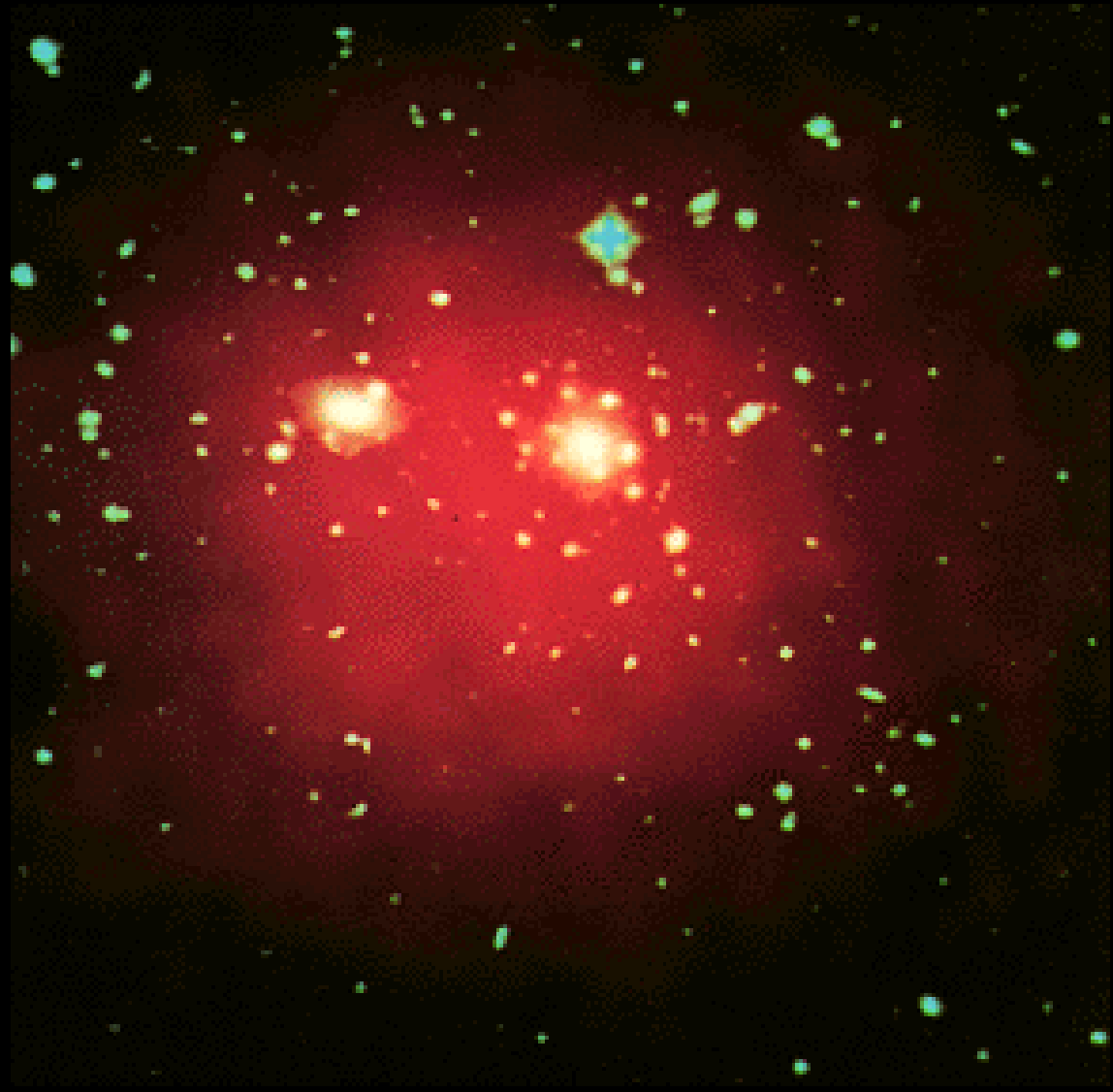
$$2KE + PE = 0$$

onde

$$KE = \frac{1}{2}M\langle V^2 \rangle$$

$$PE = GM\langle 1/R \rangle$$

- Massa escura =  
60 × massa  
luminosa



# Lentes Gravitacionais

- Aglomerados de galáxias e galáxias como lentes
- Um efeito da Relatividade Geral
- Medida mais direta da massa
- Telescópios cósmicos

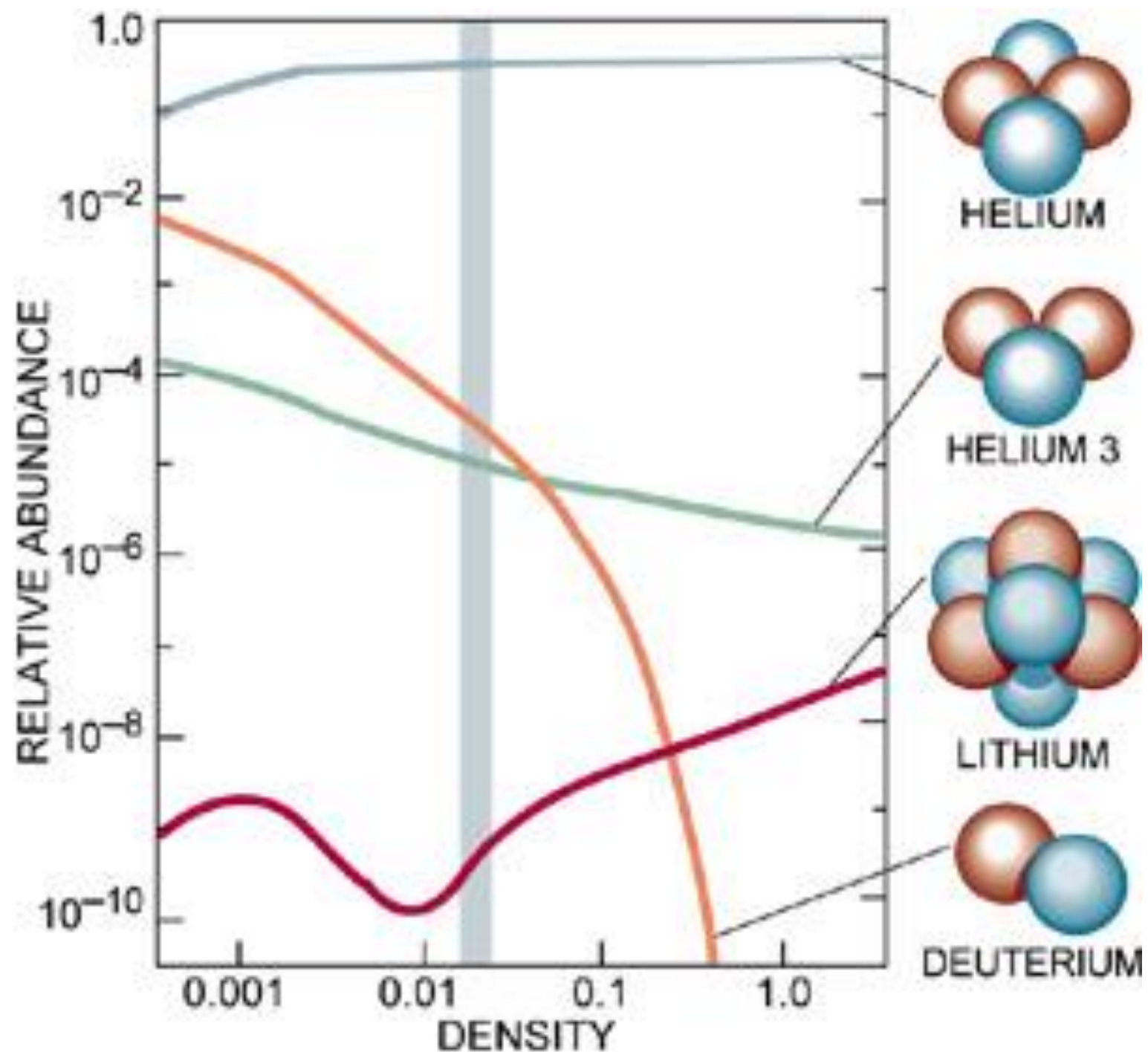


# Pesando o Universo: determinação de $\Omega$

- Determinações globais:
  - Expansão do universo
  - Nucleo-síntese primordial
- Procedimentos:
  - Objetos individuais (espirais, aglomerados...)
  - Propriedades globais do Universo
  - Radiação de fundo cósmica
- Componentes de  $\Omega$   
$$\Omega_{\text{tot}} = \Omega_{\text{b}} + \Omega_{\text{dm}} + \Omega_{\Lambda} = \Omega_{\text{mat}} + \Omega_{\Lambda}$$
- Inflação  $\Rightarrow \Omega_{\text{tot}} = 1$

# Pesando o Universo com a Nucleossíntese Primordial

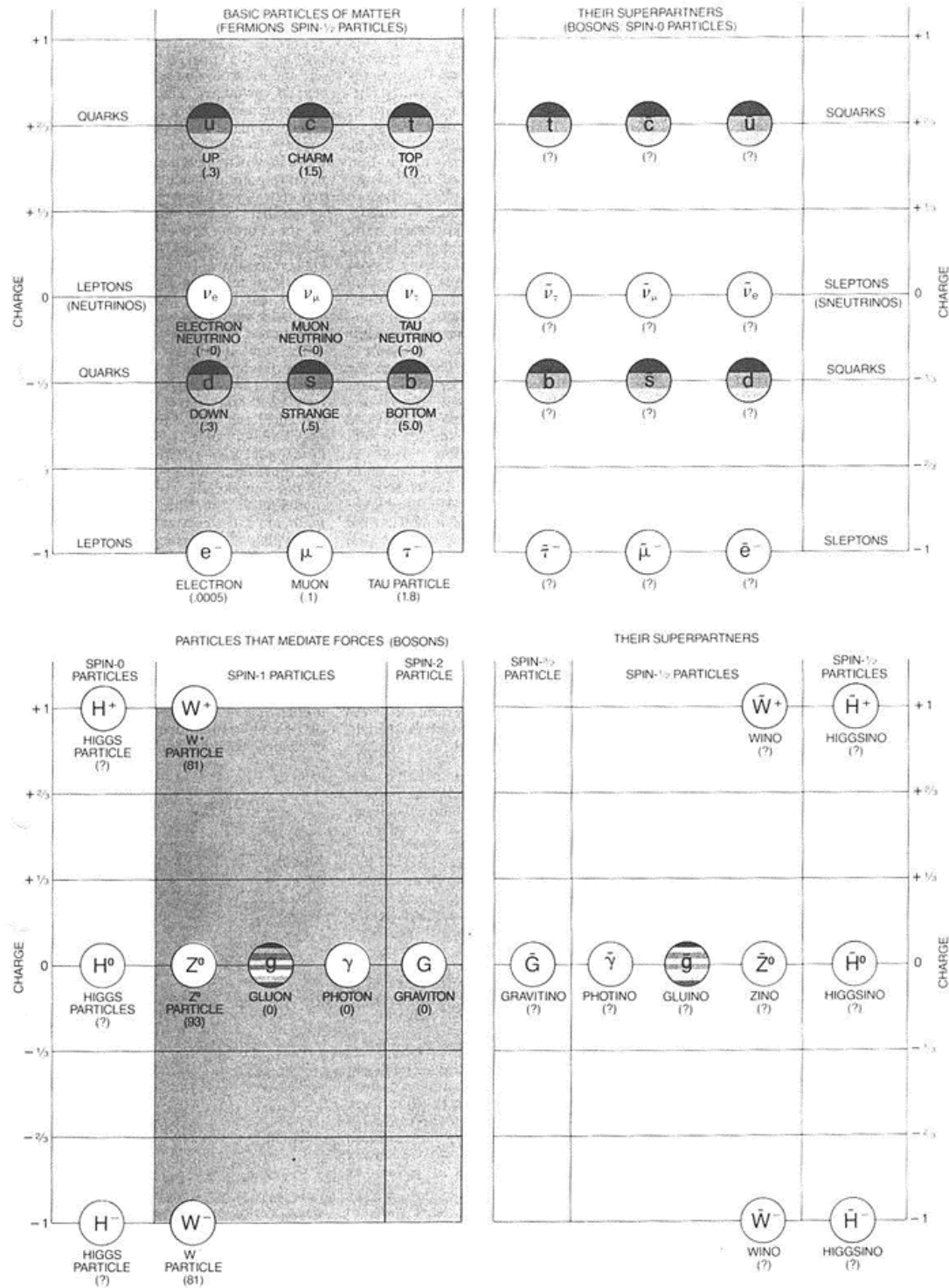
- Durante o Big Bang são produzidos uns poucos elementos leves D,  $^3\text{He}$ ,  $^4\text{He}$ ,  $^7\text{Li}$
- A proporção destes elementos permite que se determine a densidade de bárions no Universo
- O valor obtido é  $\Omega_b=0.04$
- Se  $\Omega_{\text{mat}}=0.27$ , então o restante  $\Omega_{\text{dm}}=0.23$  é matéria escura não-bariônica



# Qual a natureza da Matéria Escura?

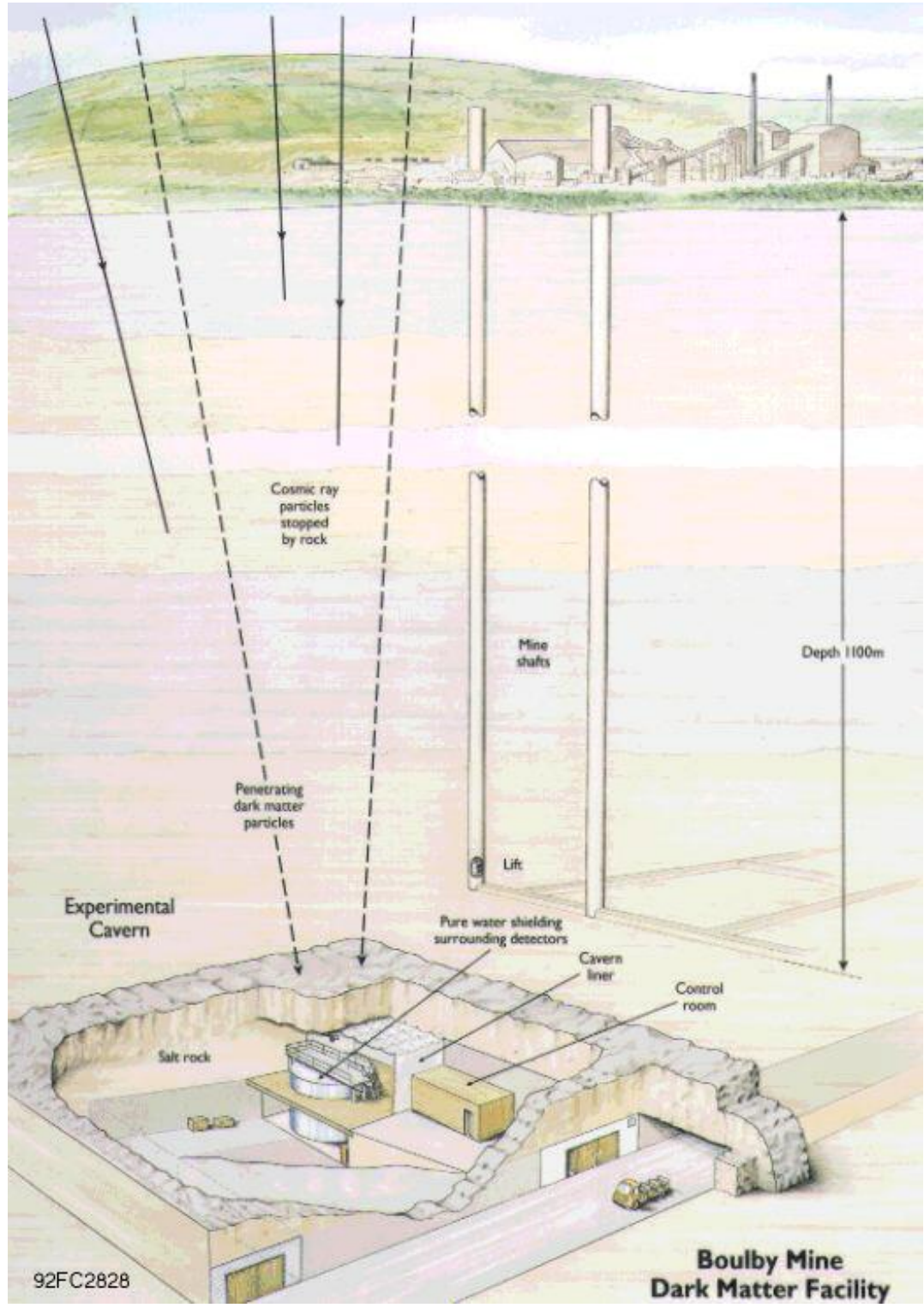
- A contribuição bariônica é diminuta
- Matéria escura fracamente interagente
  - Matéria escura quente ( $m < 100$  eV)
  - Matéria escura fria ( $m > 1$  GeV)
- Matéria escura quente: neutrinos
  - não podem ser dominantes  $\Rightarrow$  estruturas de grande escala
- Matéria escura fria: WIMPs
  - (weakly interacting massive particles)
  - candidatos de SUSY (supersymmetric theories)

# Supersimetricia (SUSY)



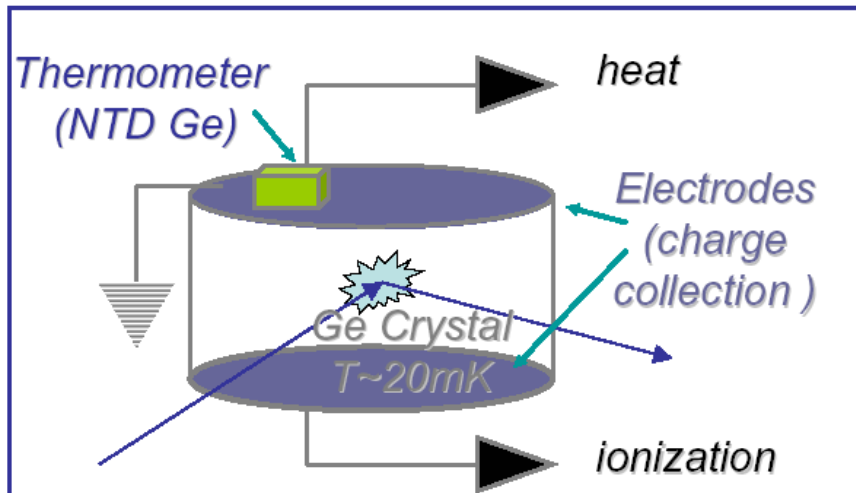
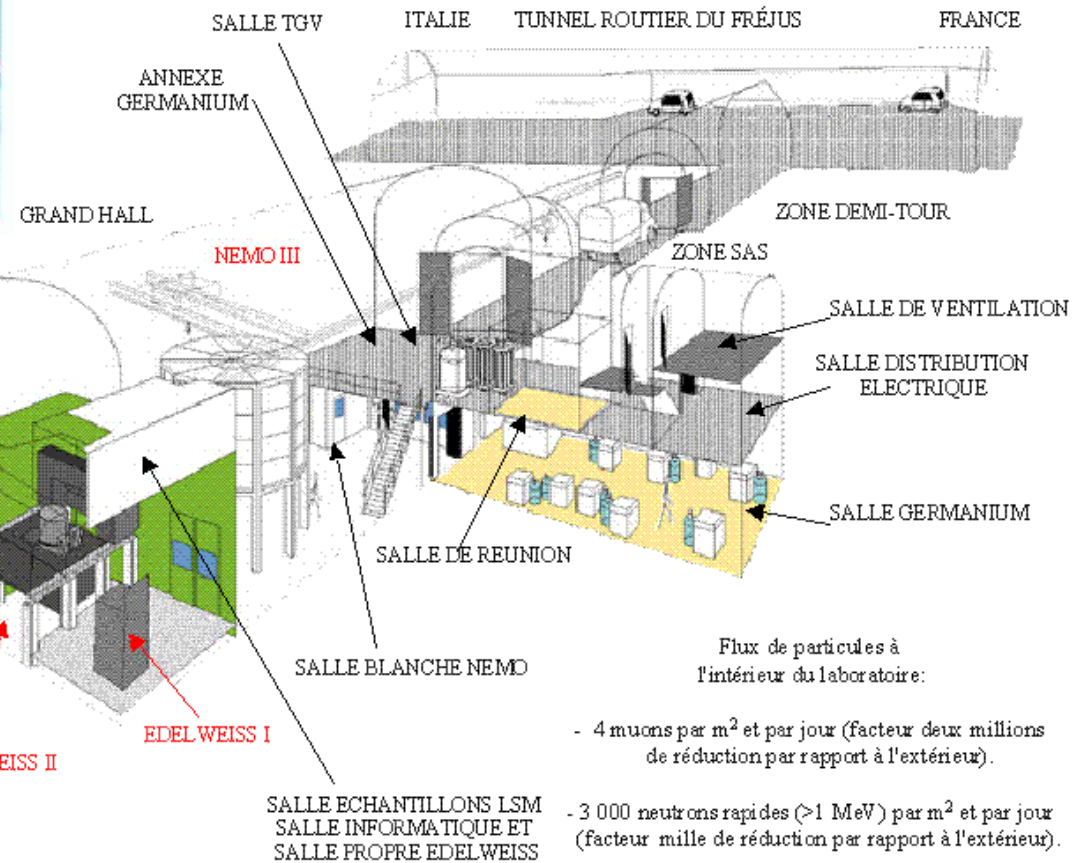
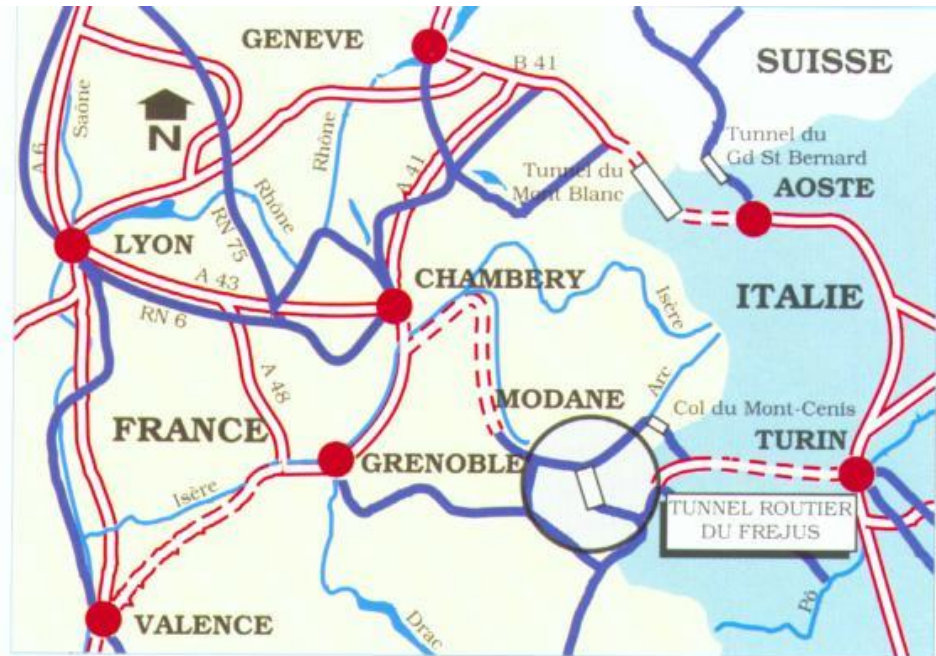
# Astronomia Subterrânea: Detecção Direta dos WIMPs

- IGEX (International GERmanium eXperiment)
- CMD5 (Cryogenic Dark Matter Search)
- EDELWEISS (Expérience pour DETecter Les Wimps En Site Souterrain)
- CRESST (Cryogenic Rare Event Search with Superconducting Thermometer)
- ROSEBUD (Rare Objects Search w. Bolometers UnDerground)
- DAMA (DARK MATter)
- UKDMC (United Kingdom Dark Matter Collaboration)

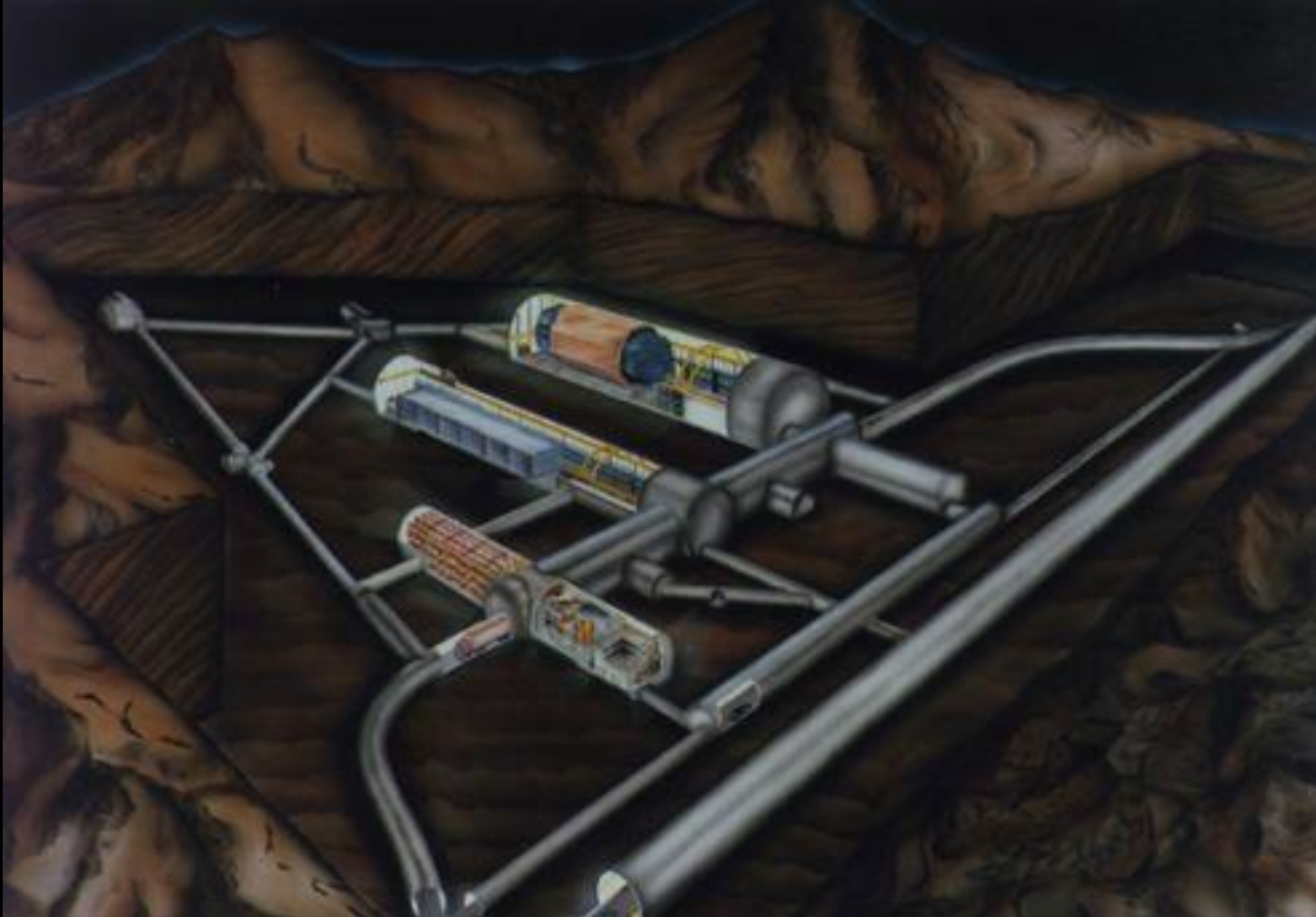


92FC2828

# Mont Fréjus: EDELWEISS



# DAMA (ITÁLIA)



## First results from DAMA/LIBRA and the combined results with DAMA/NaI

R. Bernabei <sup>a,b</sup>, P. Belli <sup>b</sup>, F. Cappella <sup>c,d</sup>, R. Cerulli <sup>e</sup>, C.J. Dai <sup>f</sup>,  
A. d'Angelo <sup>c,d</sup>, H.L. He <sup>f</sup>, A. Incicchitti <sup>d</sup>, H.H. Kuang <sup>f</sup>,  
J.M. Ma <sup>f</sup>, F. Montecchia <sup>a,b</sup>, F. Nozzoli <sup>a,b</sup>,  
D. Prosperi <sup>c,d</sup>, X.D. Sheng <sup>f</sup>, Z.P. Ye <sup>f,g</sup>

<sup>a</sup>*Dip. di Fisica, Università di Roma "Tor Vergata", I-00133 Rome, Italy*

<sup>b</sup>*INFN, sez. Roma "Tor Vergata", I-00133 Rome, Italy*

<sup>c</sup>*Dip. di Fisica, Università di Roma "La Sapienza", I-00185 Rome, Italy*

<sup>d</sup>*INFN, sez. Roma, I-00185 Rome, Italy*

<sup>e</sup>*Laboratori Nazionali del Gran Sasso, I.N.F.N., Assergi, Italy*

<sup>f</sup>*IHEP, Chinese Academy, P.O. Box 918/3, Beijing 100039, China*

<sup>g</sup>*University of Jing Gangshan, Jiangxi, China*

### Abstract

The highly radiopure  $\simeq 250$  kg NaI(Tl) DAMA/LIBRA set-up is running at the Gran Sasso National Laboratory of the I.N.F.N.. In this paper the first result obtained by exploiting the model independent annual modulation signature for Dark Matter (DM) particles is presented. It refers to an exposure of  $0.53 \text{ ton} \times \text{yr}$ . The collected DAMA/LIBRA data satisfy all the many peculiarities of the DM annual modulation signature. Neither systematic effects nor side reactions can account for the observed modulation amplitude and contemporaneously satisfy all the several requirements of this DM signature. Thus, the presence of Dark Matter particles in the galactic halo is supported also by DAMA/LIBRA and, considering the former DAMA/NaI and the present DAMA/LIBRA data all together (total exposure  $0.82 \text{ ton} \times \text{yr}$ ), the presence of Dark Matter particles in the galactic halo is supported at  $8.2 \sigma$  C.L..

# Do que é feito o Universo?

## Continua faltando alguma coisa:

### **Energia Escura**

- Matéria
  - Bariônica (Estrelas, Gás, Raios cósmicos)
  - Radiação
  - Escura (quente, fria)

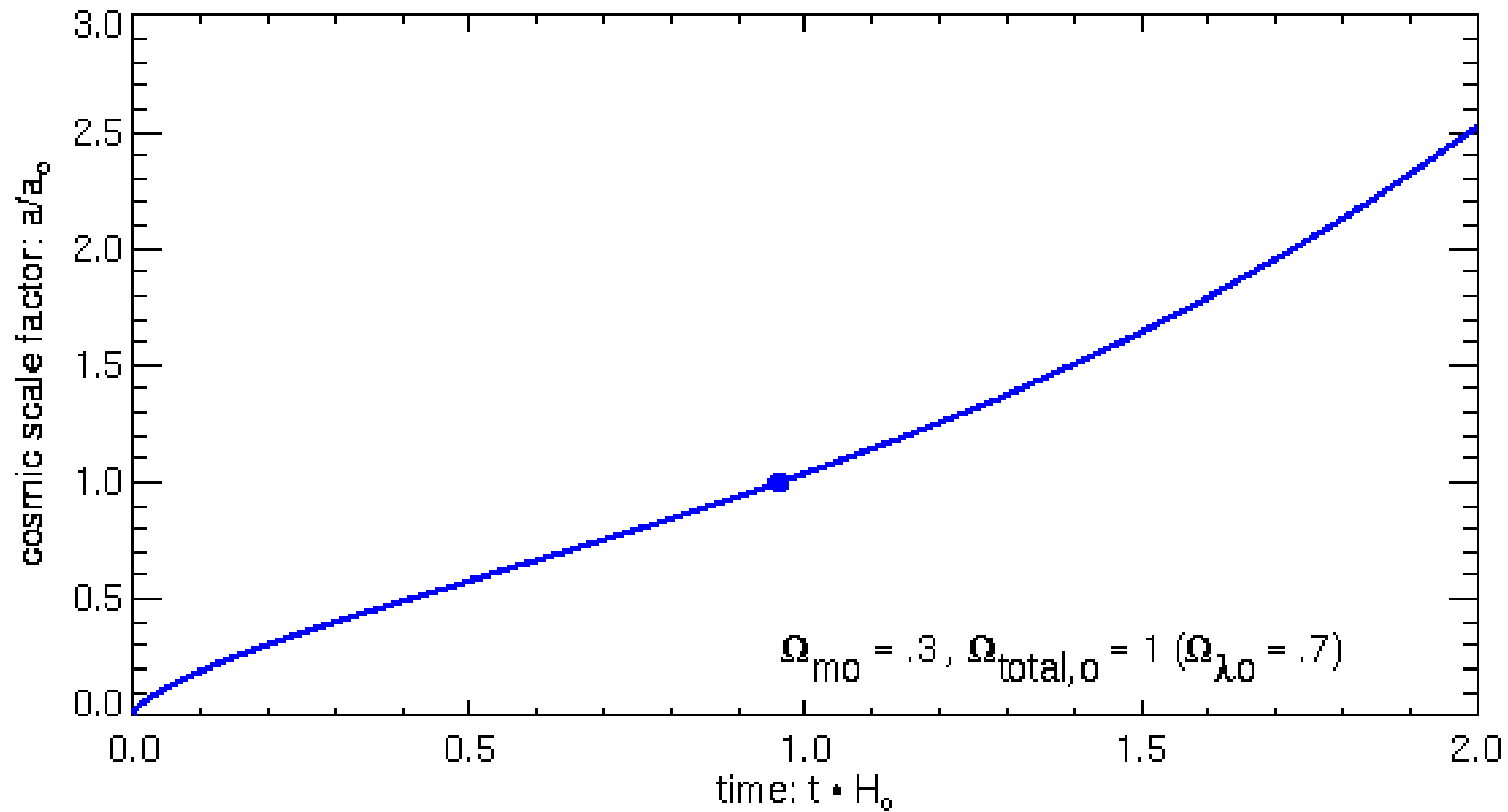
*Sempre Atrativa*  $\Omega_{\text{mat}}$

- Evidências da energia escura:
  - Expansão do Universo (Supernovas Ia)
  - Lentes Gravitacionais
  - Radiação de Fundo Cósmica
  - Aglomerados de galáxias (Raios-X)

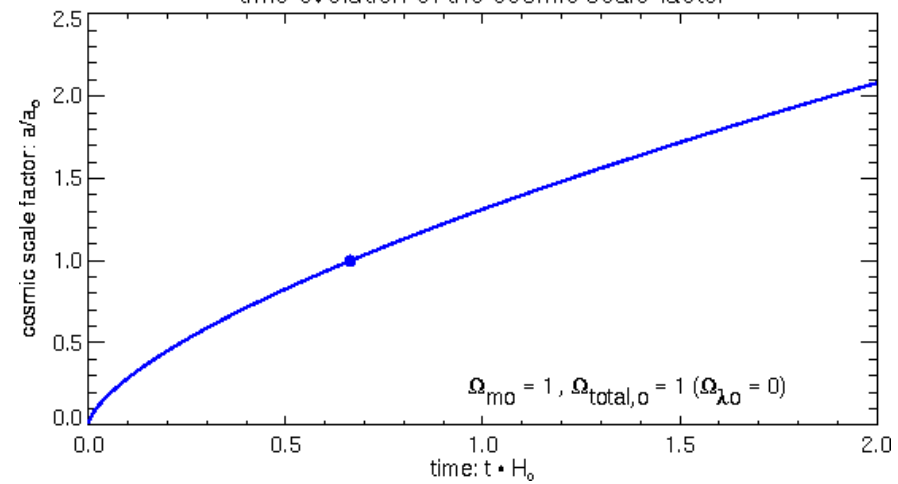
*Força repulsiva universal*

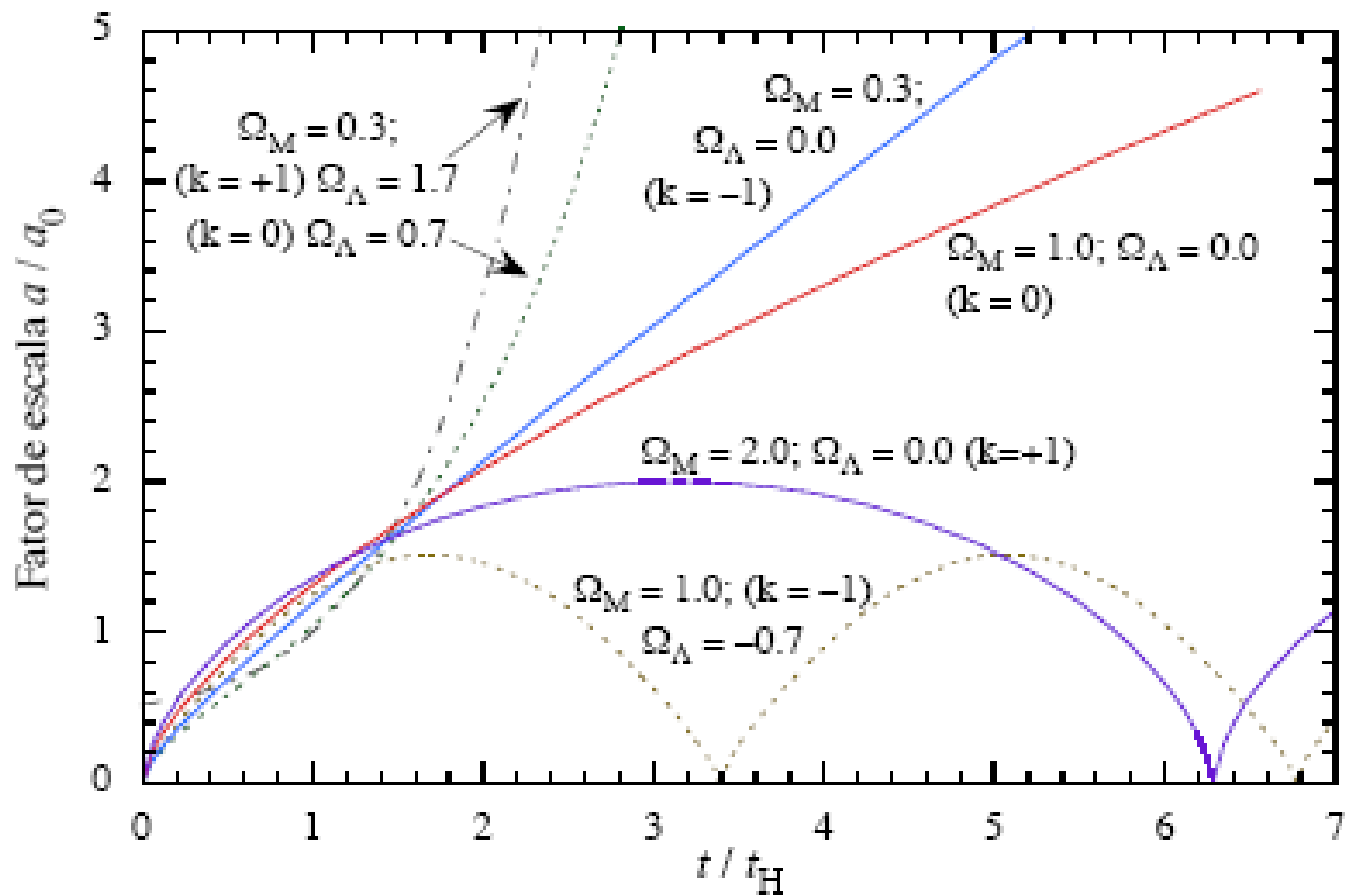
$\Omega_{\Lambda}$  **Constante Cosmológica**

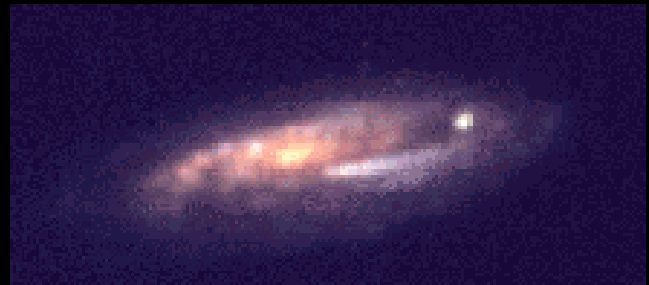
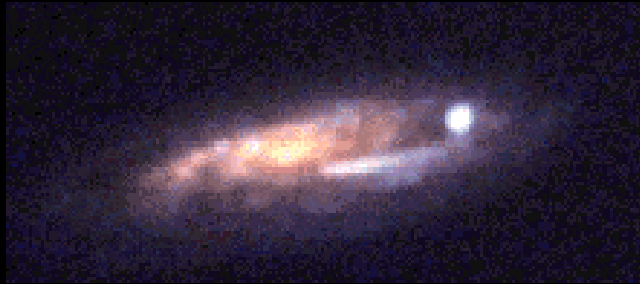
time evolution of the cosmic scale factor

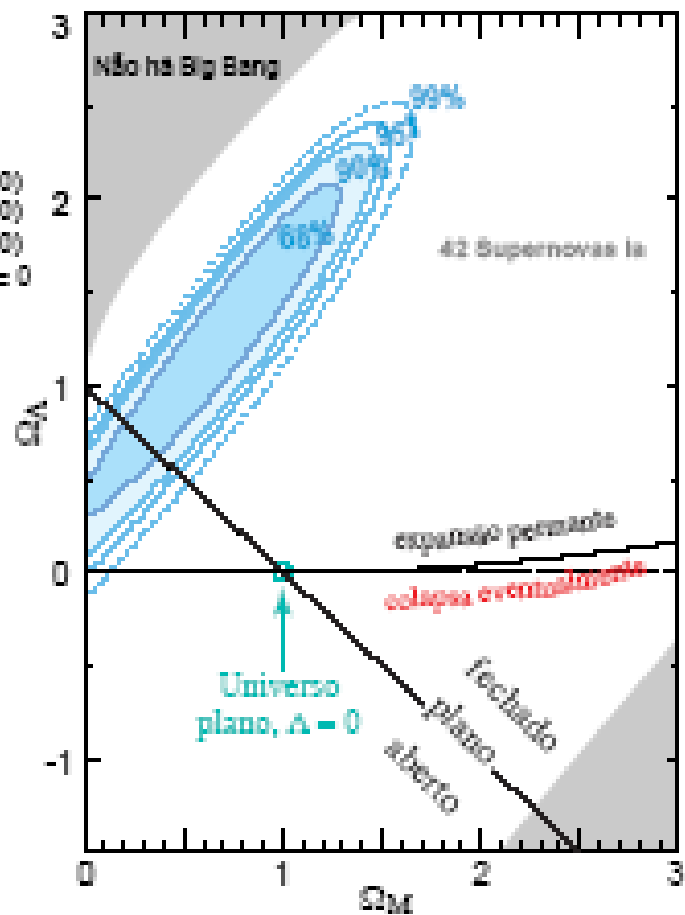
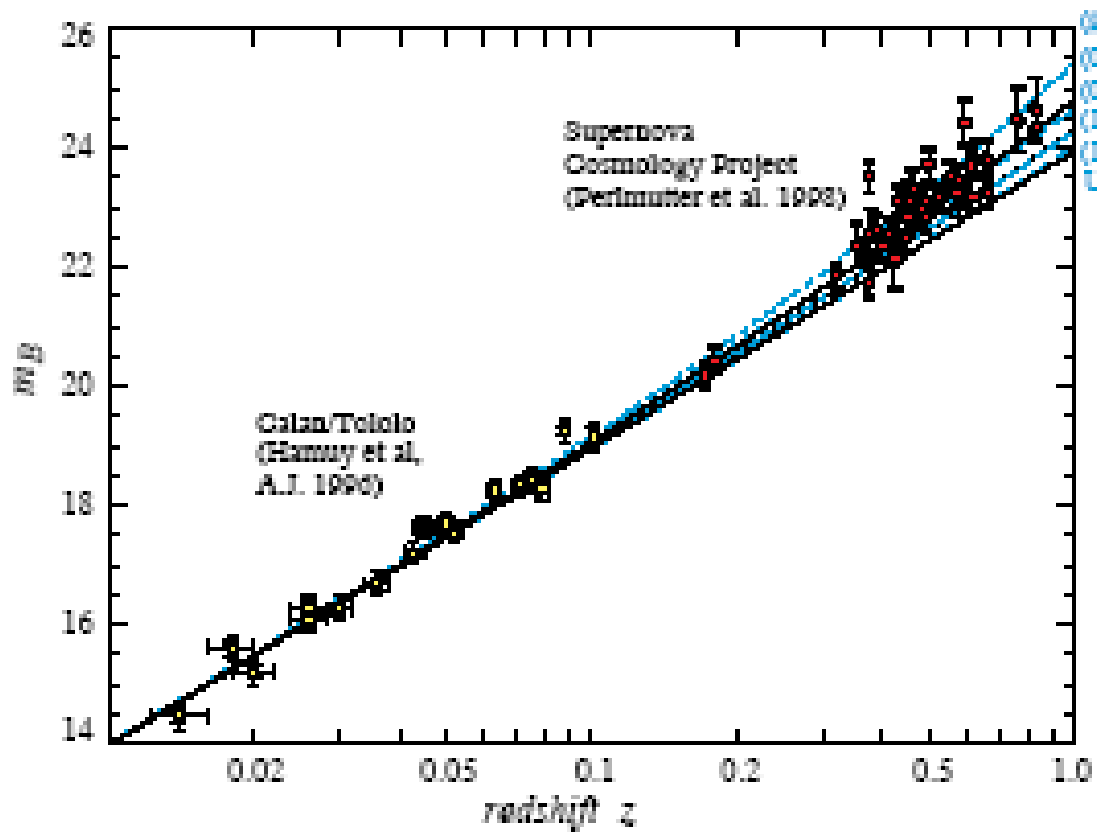


time evolution of the cosmic scale factor

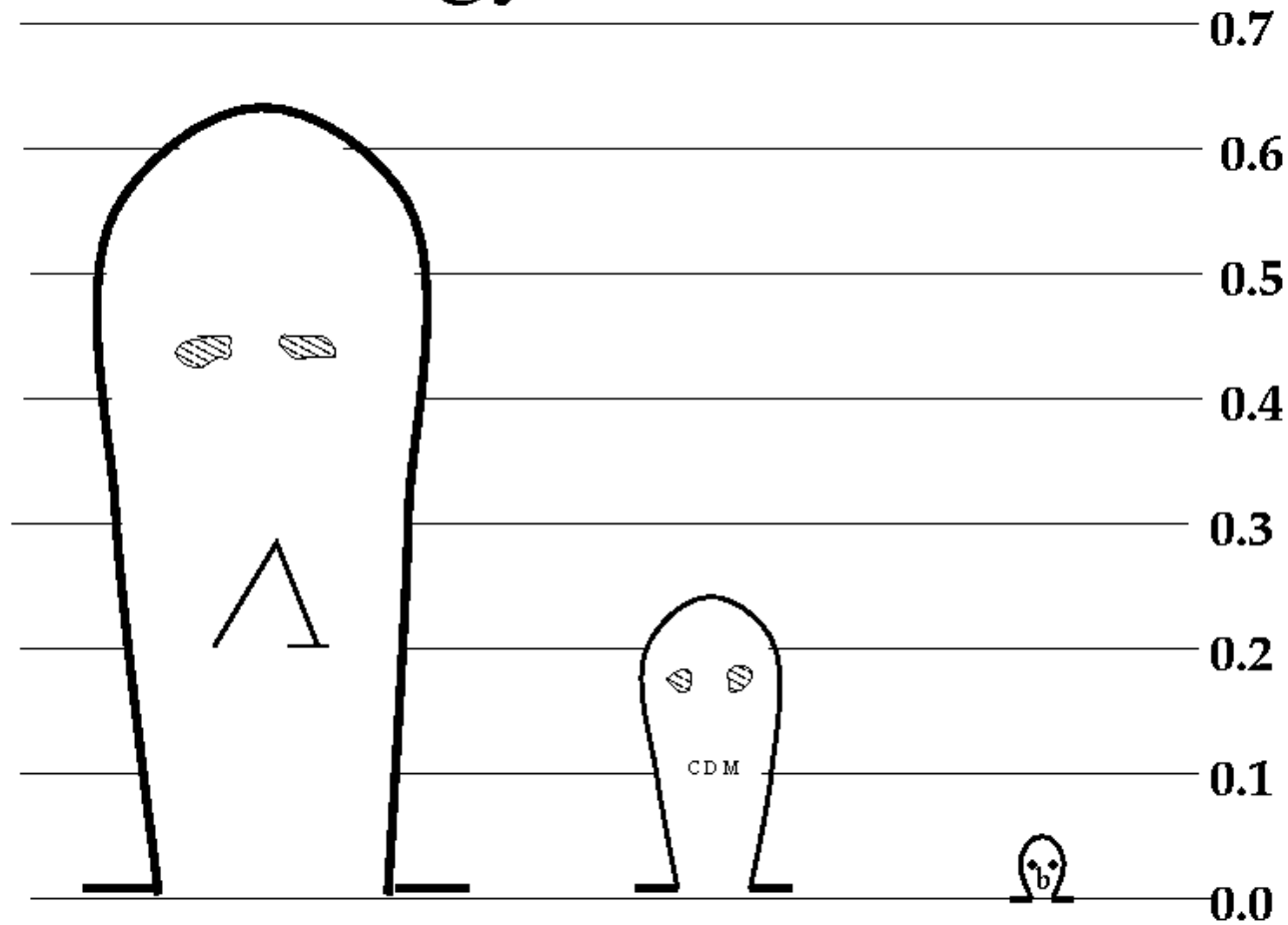








# Cosmology's Most Wanted



$\Omega_\Lambda$	$\Omega_{\text{CDM}}$	$\Omega_b$
cosmological constant energy of the vacuum He never clumps His evil plan is to blow up the Universe	cold dark matter He likes to clump but has never been detected directly His evil plan is to make the Universe collapse	normal baryonic matter a pawn in the cosmic game who just follows CDM around. He thinks he's a complex life form but is really just a bunch of hydrogen

**Surprise,  
Surprise!  
1998**

